



VYSOKÉ UČENÍ TECHNICKÉ V BRNĚ

BRNO UNIVERSITY OF TECHNOLOGY

**FAKULTA ELEKTROTECHNIKY
A KOMUNIKAČNÍCH TECHNOLOGIÍ**
FACULTY OF ELECTRICAL ENGINEERING AND COMMUNICATION

ÚSTAV AUTOMATIZACE A MĚŘICÍ TECHNIKY
DEPARTMENT OF CONTROL AND INSTRUMENTATION

VZDÁLENÉ ŘÍZENÍ A VIZUALIZACE DEMONSTRAČNÍHO PANELU KNX

REMOTE CONTROL AND VISUALISATION OF A KNX DEMONSTRATION BOARD

BAKALÁŘSKÁ PRÁCE
BACHELOR'S THESIS

AUTOR PRÁCE
AUTHOR

Luboš Kelnar

VEDOUCÍ PRÁCE
SUPERVISOR

doc. Ing. Petr Fiedler, Ph.D.

BRNO 2025



Bakalářská práce

bakalářský studijní program **Automatizační a měřicí technika**

Ústav automatizace a měřicí techniky

Student: Luboš Kelnar

ID: 221302

Ročník: 3

Akademický rok: 2024/25

NÁZEV TÉMATU:

Vzdálené řízení a vizualizace demonstračního panelu KNX

POKYNY PRO VYPRACOVÁNÍ:

Cílem práce je navrhnout a realizovat vzdálené řízení a vizualizaci demonstračního panelu KNX pro ovládání funkcí osvětlení, žaluzií, topení a klimatizace. Vzdálené řízení bude realizováno prostřednictvím PLC a rozhraním IP/KNX. Vizualizace bude zobrazovat aktuální stav panelu a řešena bude přes webovou aplikaci navrženou pro mobilní zařízení/tablet. Součástí řešení je i vytvoření dynamických světlených scén, kde bude panel automaticky regulovat osvětlení, dle připravených scénářů.

- 1) Seznamte se s technologií KNX
- 2) Prozkoumejte možnosti řízení systému KNX pomocí vizualizační platformy
- 3) Navrhněte řízení KNX panelu prostřednictvím zvolené vizualizace
- 4) Vytvořte vizualizaci řízení panelu pro mobilní zařízení/tablet pro účel prezentace funkcí
- 5) Navrhněte a ověřte dynamické světelné scény

DOPORUČENÁ LITERATURA:

[1] Dokumentace k technologii KNX

[2] Dokumentace k PLC Tecomat

Termín zadání: 10.2.2025

Termín odevzdání: 28.5.2025

Vedoucí práce: doc. Ing. Petr Fiedler, Ph.D.

Konzultant: Ing. Branislav Bátora, Ph.D.

Ing. Miroslav Jirgl, Ph.D.
předseda rady studijního programu

UPOZORNĚNÍ:

Autor bakalářské práce nesmí při vytváření bakalářské práce porušit autorská práva třetích osob, zejména nesmí zasahovat nedovoleným způsobem do cizích autorských práv osobnostních a musí si být plně vědom následků porušení ustanovení § 11 a následujících autorského zákona č. 121/2000 Sb., včetně možných trestněprávních důsledků vyplývajících z ustanovení části druhé, hlavy VI. díl 4 Trestního zákoníku č.40/2009 Sb.

ABSTRAKT

Cílem této bakalářské práce je realizace vzdáleného řízení a vizualizace demonstračního panelu KNX pomocí PLC Foxtrot a dalších zobrazovacích nástrojů s využitím Dockeru. Samotná vizualizace bude dostupná prostřednictvím webové aplikace pro mobilní zařízení nebo tablet, a to v podobě přehledného menu rozděleného do sekcí pro celkový přehled instalace. Práce začíná seznámením s technologií KNX a podrobným popisem možností řízení systému. Dále jsou popsány možnosti vizualizace za využití nativního webového serveru Foxtrot nebo jiných řešení s využitím Raspberry Pi a Docker kontejnerů.

KLÍČOVÁ SLOVA

demonstrativní panel, ETS, Foxtrot, Raspberry Pi, Docker, inteligentní elektroinstalace, KNX, MQTT

ABSTRACT

The aim of this bachelor's thesis is to implement remote control and visualization of a demonstration KNX panel using the Foxtrot PLC and other visualization tools with Docker. The visualization will be available through a web application for mobile devices or tablets, presented as a clear menu divided into sections for an overall overview of the installation. The thesis begins with an introduction to KNX technology and a detailed description of the system control options. Furthermore, it describes visualization options using the native Foxtrot web server or other solutions with Raspberry Pi and Docker containers.

KEYWORDS

demonstration panel, ETS, Foxtrot, Raspberry Pi, Docker, intelligent wiring, KNX, MQTT

KELNAR, Luboš. *Vzdálené řízení a vizualizace demonstrativního panelu KNX*. Bakalářská práce. Brno: Vysoké učení technické v Brně, Fakulta elektrotechniky a komunikačních technologií, Ústav automatizace a měřicí techniky, 2025. Vedoucí práce: doc. Ing. Petr Fiedler, Ph.D.

Prohlášení autora o původnosti díla

| | |
|---------------------------------|---|
| Jméno a příjmení autora: | Luboš Kelnar |
| VUT ID autora: | 221 302 |
| Typ práce: | Bakalářská práce |
| Akademický rok: | 2024/25 |
| Téma závěrečné práce: | Vzdálené řízení a vizualizace demonstrativního panelu KNX |

Prohlašuji, že svou závěrečnou práci jsem vypracoval samostatně pod vedením vedoucí/ho závěrečné práce a s použitím odborné literatury a dalších informačních zdrojů, které jsou všechny citovány v práci a uvedeny v seznamu literatury na konci práce.

Jako autor uvedené závěrečné práce dále prohlašuji, že v souvislosti s vytvořením této závěrečné práce jsem neporušil autorská práva třetích osob, zejména jsem nezasáhl nedovoleným způsobem do cizích autorských práv osobnostních a/nebo majetkových a jsem si plně vědom následků porušení ustanovení § 11 a následujících autorského zákona č. 121/2000 Sb., o právu autorském, o právech souvisejících s právem autorským a o změně některých zákonů (autorský zákon), ve znění pozdějších předpisů, včetně možných trestněprávních důsledků vyplývajících z ustanovení části druhé, hlavy VI. díl 4 Trestního zákoníku č. 40/2009 Sb.

Brno
.....
podpis autora*

*Autor podepisuje pouze v tištěné verzi.

PODĚKOVÁNÍ

Rád bych poděkoval vedoucímu bakalářské práce panu doc. Ing. Petru Fiedlerovi, Ph.D a konzultantu panu Ing. Branislavu Bátorovi Ph.D. za odborné vedení, konzultace, trpělivost a podnětné návrhy k práci.

Obsah

| | |
|---|-----------|
| Úvod | 14 |
| Cíle práce | 16 |
| 1 Sběrnicový systém KNX | 17 |
| 1.1 Historie | 17 |
| 1.1.1 EIBA | 17 |
| 1.1.2 KNX | 17 |
| 1.2 Možnosti použití technologie | 18 |
| 1.3 Sběrnicové instalace | 19 |
| 1.3.1 Sběrnicové přístroje | 19 |
| 1.3.2 Adresování | 20 |
| 1.3.3 Komunikace po sběrnici | 21 |
| 1.3.4 KNXnet/IP | 22 |
| 1.3.5 Datový bod | 24 |
| 1.4 Zabezpečení | 25 |
| 1.5 Topologie | 26 |
| 1.5.1 Individuální adresa | 27 |
| 1.5.2 Spojka | 28 |
| 1.5.3 Routingové číslo | 28 |
| 1.5.4 Interní a externí rozhraní | 28 |
| 2 ETS | 29 |
| 2.1 Tvorba instalace | 29 |
| 2.2 Parametrisace tlačítek a detektoru pohybu | 31 |
| 2.2.1 ABB - SBR/U6.0.1-84 | 32 |
| 2.2.2 Berker - 75663593 | 32 |
| 2.2.3 Ekinex - EK-ED2-TP-RW | 33 |
| 2.2.4 Basalte - Senido 202-03 | 34 |
| 2.2.5 Simon - 8400100-039 | 34 |
| 2.2.6 HDL - M/TBP6.1-A2 | 35 |
| 2.2.7 Siemens - QMX3.P37 | 37 |
| 2.2.8 B.E.G - Indor 140-L-KNX-DX | 38 |
| 2.3 Parametrisace akčních členů | 38 |
| 2.3.1 ABB SA/S8.10.2.1 | 38 |
| 2.3.2 ABB - JRA/S4.230.2.1 | 39 |
| 2.3.3 HDL - M/R8.10.1 | 39 |

| | | |
|---|--|-----------|
| 2.3.4 | HDL - M/DRGBW4.1 | 40 |
| 2.4 | Připojená komunikační rozhraní | 40 |
| 2.5 | Vytvoření skupinových adres projektu | 43 |
| 3 | Vizualizace skrze programovatelný logický automat | 46 |
| 3.1 | CP - 2007 | 46 |
| 3.2 | Mosaic | 47 |
| 3.2.1 | Ovládací prvky | 48 |
| 3.2.2 | Komunikace KNX/IP | 55 |
| 3.2.3 | Komunikace MQTT | 57 |
| 3.2.4 | Vizualizace | 57 |
| 4 | Raspberry Pi 5 | 59 |
| 4.1 | Docker Compose | 60 |
| 4.1.1 | Kontejnerizace | 60 |
| 4.1.2 | Tvorba YAML souboru | 61 |
| 4.1.3 | Portainer | 62 |
| 4.2 | Mosquitto | 62 |
| 4.3 | Home Assistant | 62 |
| 4.4 | Influxdb | 62 |
| 4.5 | Grafana | 62 |
| Závěr | | 63 |
| Literatura | | 64 |
| Seznam symbolů a zkratek | | 68 |
| Seznam příloh | | 70 |
| A Skupinové adresy | | 71 |
| B Globální proměnné a struktury PLC | | 76 |
| C Definice funkčního bloku fbRoomTempMod | | 78 |
| D Popis funkčního bloku fbBath | | 83 |
| E Definice funkčního bloku fbKitch | | 84 |
| F Definice funkčního bloku fbLivRoom | | 86 |
| G Definice funkčního bloku fbOutz | | 89 |

| | |
|--|------------|
| H Program komunikace mezi PLC a KNX | 90 |
| I Program komunikace mezi PLC a Home Assistant - MQTT | 94 |
| J Vizualizace PLC | 95 |
| K Portainer YAML | 99 |
| L Stack YAML | 100 |

Seznam obrázků

| | | |
|------|--|----|
| 1.1 | Součásti sběrnicového přístroje [4] | 19 |
| 1.2 | Struktura individuální adresy [?] | 20 |
| 1.3 | Příklad struktury skupinových adres [6] | 21 |
| 1.4 | Struktura telegramu [6] | 21 |
| 1.5 | Struktura bitu kroucené dvojlinky [6] | 22 |
| 1.6 | Tunelování [12] | 23 |
| 1.7 | Routování [13] | 24 |
| 1.8 | Ukázka topologie KNX[8] | 27 |
| 2.1 | Projekt budovy v ETS | 30 |
| 2.2 | Pracovní plocha v ETS | 31 |
| 2.3 | Grafický návrh panelu [9] | 31 |
| 2.4 | Šestinásobné tlačítko s termostatem ABB - SBR/U6.0.1-84 [14] | 32 |
| 2.5 | Osminásobné tlačítko Berker - 75663593 [19] | 33 |
| 2.6 | Čtyřnásobné tlačítko Ekinex - EK-ED2-TP-RW [9] | 33 |
| 2.7 | Čtyřnásobné dotykové tlačítko Basalte - Senido 202-03 [17] | 34 |
| 2.8 | Čtyřnásobné tlačítko Simon - 8400100-039 [26] | 35 |
| 2.9 | Šestinásobné tlačítko HDL - M/TBP6.1-A2 [21] | 35 |
| 2.10 | Parametry scény A tlačítka HDL - M/TBP6.1-A2 | 36 |
| 2.11 | Parametry scény B tlačítka HDL - M/TBP6.1-A2 | 36 |
| 2.12 | Ovladací panel Siemens - QMX3.P37 [24] | 37 |
| 2.13 | Detektor pohybu B.E.G - Indor 140-L-KNX-DX [9] | 38 |
| 2.14 | Osmikanálový spínací člen ABB - SA/S8.10.2.1 [15] | 39 |
| 2.15 | Čtyřkanálový žaluziový člen ABB - JRA/S4.230.2.1 [16] | 39 |
| 2.16 | Osmikanálový spínací člen HDL - M/R8.10.1 [22] | 40 |
| 2.17 | Čtyřnásobný stmívací člen HDL - M/DRGBW4.1 [23] | 40 |
| 2.18 | IP Secure router Siemens - 5WG1 146-1AB03 [25] | 41 |
| 2.19 | Komunikační rozhraní Weinzierl - KNX IP BAOS 774 [28] | 41 |
| 3.1 | CP-2007 [29] | 46 |
| 3.2 | fbKNXVisuBool | 49 |
| 3.3 | fbKNXShutters | 50 |
| 3.4 | Průběh funkcí pro simulaci | 52 |
| 3.5 | Simulace teploty v místnosti | 54 |
| 3.6 | Ikony použité pro vizualizaci | 57 |
| 4.1 | Raspberry Pi5 [36] | 59 |
| 4.2 | Docker Stack | 60 |
| D.1 | Logika funkčního bloku fbBath | 83 |
| E.1 | Logika funkčního bloku fbKitch | 85 |

| | | |
|-----|--|----|
| F.1 | Logika funkčního bloku fbLivRoom | 88 |
| G.1 | Logika funkčního bloku fbOutz | 89 |
| J.1 | Vizualizace PLC | 95 |
| J.2 | WebMaker - Hlavní obrazovka | 96 |
| J.3 | WebMaker - Obrazovka venek | 96 |
| J.4 | WebMaker - Obrazovka koupelna | 97 |
| J.5 | WebMaker - Obrazovka kuchyně | 97 |
| J.6 | WebMaker - Obrazovka obyvací pokoj | 98 |

Seznam tabulek

| | | |
|-----|--|----|
| 1.1 | Přehled nejpoužívanějších datových typů | 25 |
| 1.2 | Individuální adresy v topologii [8] | 27 |
| 2.1 | Datapointy pro komunikaci KNX IP BAOS 774 s PLC | 42 |
| 2.2 | Funkce kuchyňských tlačítek pro krátké stisknutí | 43 |
| 2.3 | Funkce kuchyňských tlačítek při dlouhém stisknutí | 43 |
| 2.4 | Funkce tlačítek obývacího pokoje při krátké stisknutí | 44 |
| 2.5 | Funkce tlačítek obývacího pokoje při dlouhém stisknutí | 44 |
| 2.6 | Funkce dotykových tlačítek při krátké stisknutí | 45 |
| 2.7 | Funkce dotykových tlačítek při dlouhém stisknutí | 45 |
| 3.1 | Definice KNX datapointů v PLC | 55 |

Seznam výpisů

| | | |
|-----|---|----|
| 3.1 | Definice funkčního bloku fbKNXVisuBool | 48 |
| 3.2 | Definice funkčního bloku fbKNXShutters | 49 |
| 3.3 | Implementace komunikace KNX/IP | 56 |
| 4.1 | Ukazka YAML souboru | 61 |
| B.1 | Globální proměnné a struktury PLC | 76 |
| C.1 | Definice funkčního bloku fbRoomTempMod | 78 |
| D.1 | Definice funkčního bloku fbBath | 83 |
| E.1 | Definice funkčního bloku fbKitch | 84 |
| F.1 | Definice funkčního bloku fbLivRoom | 86 |
| G.1 | Definice funkčního bloku fbOutz | 89 |
| H.1 | Program komunikace mezi PLC a KNX | 90 |
| I.1 | Program komunikace mezi PLC a Home Assistant - MQTT | 94 |

Úvod

S postupem času rostou možnosti využití elektrotechniky ve všech technických oblastech. Dnes již není problém najít elektroniku ve většině produktů a z toho plyně, že se elektronika dostala i do moderních instalací. Oproti dobám minulým dokážeme ovládat nejen světla, ale i topení, klimatizaci, žaluzie, zabezpečení budovy, spotřebu a mnoho dalších činností s tím souvisejícím. Také rostou požadavky na komplexnost celé instalace, což znamenalo s jednoduchou instalací velké množství kabeláže, kterou šlo většinou jenom spínat různé spotřebiče. Dnes už je možno tyhle požadavky realizovat pomocí napájecích zdrojů řízených sběrnicemi. Tohle řízení nám dává možnost automatizovat větší komplexy například hotely, nemocnice, vily, nebo v některých případěc i samotné továrny. Další důležitý aspekt dnešní doby je vzdálené řízení, které umožní uživateli ovládat celý komplex, aniž by se musel dostavit na požadované místo. Z těchto informací je patrné, že sběrnicové instalace začínají být velice populární řešení, a to zejména sběrnicový standard KNX, který se používá celosvětově.

Tato bakalářská práce má za cíl seznámit čtenáře, se sběrnicovým systémem KNX, zvoleným serverem pro řízení demonstračního panelu a vytvoření programu pro demonstraci funkcí sběrnicového systému KNX. Tento panel bude cestovat po různých akcích za účelem zvyšování povědomí o systému a demonstraci používání tohoto systému nejen pomocí fyzických ovládacích prvků, ale i za pomoci webového rozhraní programovatelného logického automatu, nebo aplikace Home Assistant. Dále bude využíván na prezentaci společností, které poskytly zařízení použité v panelu.

Teoretická část práce se zabývá základy sběrnicového systému KNX, včetně základních informací o asociaci, použitém programovatelném automatu, Home Assistantu a vzájemnými komunikacemi. První podkapitola systému KNX se zabývá historií asociace od vzniku, až doposud. Další podkapitola nese informace o možnostech použití technologie. Byly zde vybrány body, které jsou pro většinu uživatelů důležité a následně vysvětleny. Následující kapitola je poměrně obsáhlnejší a vysvětuje základy sběrnicových přístrojů. To znamená, z čeho se zkládají, jak se adresují, jak komunikují a jaká data mezi sebou přenášejí. Předposlední podkapitola pojednává o zabezpečení, které je nutností pro klid většiny uživatelů. Poslední podkapitola vysvětuje topologii sběrnicového systému KNX, její adresování, funkci spojek, využití routingového čísla a popisuje využití komunikačních rozhraní v systému KNX. Další kapitola představuje programovatelný logický automat (PLC), který byl použit pro řízení celého demonstračního panelu. V této kapitole je popsán automat, použité knihovny, komunikační protokol MQTT a nakonec samotný integrovaný vizualizační server. Poslední kapitola popisuje zařízení a technologii na které

je realizována další možnost vizualizace. V tomto případě zvolené RaspberryPi 5, s nainstalovaným dockerem na kterém běží kontejnery - Portainer, Home Assistant, InfluxDB, MQTT broker a Grafana.

Praktická část této práce se zaměřuje na tvorbu instalace v softwaru ETS, programování PLC a práce s RaspberryPi. V první části kapitoly o ETS se popisuje software a jeho možnosti. Druhá část popisuje tvorbu instalace od přidání do projektu, přes nastacení komunikace až po přiřazení skupinové adresy. V kapitole o PLC jsou popsány základní vytvořené funkční bloky, vytvoření a nastavení komunikace a nakonec realizace vizualizace skrze integrovaný server. Poslední kapitola popisuje instalaci a nastavení RaspberryPi, instalaci dockeru a jednotlivých kontejnerů.

Cíle práce

Cílem této bakalářské práce po domluvě s konzultantem je seznámení s technologií KNX, vytvoření programu pomocí softwaru ETS, naprogramování PLC a utvoření vizualizace skrze různé platformy.

1 Sběrnicový systém KNX

Existuje velké množství sběrnicových systémů, ale asociace KNX s 500 členskými společnostmi a 8000 produkty je v této době největší na trhu. [10]

Pro vstup do asociace je nutné aby žadatel splňoval požadovanou kvalitu (kompatibilita s ISO 9001 - zavedený systém kontroly kvality v podniku), vzájemná kompatibilita výrobků s ostatními členy, konfigurační kompatibilita (možná konfigurace za použití KNX Engineering Tool Software, zkráceně ETS), zpětná kompatibilita (kompatibilita starých instalací s nynějšími a budoucími instalacemi). [4]

Výhodou takto velké asociace je již zmíněná vzájemná kompatibilita komponent členských společností, tisíce KNX certifikovaných skupin výrobků (pokrytí jakéhokoliv myslitelného pole aplikací), podpora všech komunikačních médií (kroucený pár TP, powerline PL, radiofrekvenční RF a rozhraní IP/Ethernet/WLAN), použití jednoho softwaru (ETS) na projektování a programování všech výrobků členských společností. [4]

KNX je také normalizováno v Evropě, USA, Číně a mezinárodně prostřednictvím norem. Tyto normy zajišťují snadné rozšíření a výměnu instalace za novou a již zmíněnou kompatibilitu mezi společnostmi. [3]

1.1 Historie

1.1.1 EIBA

Asociace byla založena v Belgii, roku 1990 pod názvem European Installation Bus Association (EIBA) se záměrem vytvářet instalace schopné komunikace pomocí sběrnic. Jako první komunikační médium byl použitý TP a aby se zajistila kompatibilita mezi produkty se členské společnosti dohodly na používání jednoho systému (standardu). Mezi další důležité milníky patří [2]:

- 1991 - první školení EIBA
- 1992 - první certifikované zařízení na trhu
- 1993 - představení první verze ETS na trhu
- 1994 - vznikl prvních školících center
- 1996 - vznik The Scientific Partnership (spolupráce s výzkumnými institucemi)
 - použití PL jako komunikační médium

1.1.2 KNX

Roku 1999 se EIBA sloučila se společností Batibus Club International (BCI) a European Home Systems Association (EHSA) a přijaly název Konnex Association.

Sídlem asociace byl ustanoven Brusel. Toto sloučení nemělo vliv na zpětnou kompatibilu a tudíž jsou všechny nové produkty kompatibilní s produkty nesoucími logo EIB. Důležité milníky pro KNX [2]:

- 2001 - vytvoření nového standardu KNX se základem ve standardu EIB
- 2003 - standard schválen, jako evropská norma EN 50090
- 2004 - standard schválen, jako americká norma ANSI/ASHRAE 135
 - přidání přenosového média RF do standardu KNX
- 2006 - standard schválen, jako světová norma ISO/IEC 14543-3
 - přejmenování asociace na KNX
- 2007 - standard schválen, jako jedna z čínských norem GB/Z 20965
 - KNX IP bylo představeno jako čtvrté přenosové médium
- 2013 - standard schválen, jako jediná čínská norma GB/T 20965

1.2 Možnosti použití technologie

Použití inteligentní instalace umožňuje využití celého objektu s maximálním potenciálem a tím maximálně ulehčit uživateli práci. Níže jsou uvedeny příklady použití instalace KNX [7]:

- Centrální ovládání - Možnost ovládat celou instalaci z jednoho zařízení (např. centrální panel, mobil) odkudkoli.
- Realizace centrálních funkcí - Při odchodu z domu zhasnutí světel, spuštění žaluzií, vypnutí zásuvkových obvodů, nebo naopak při vstupu zapnutí topení a osvětlení.
- Regulace teplot (topení, chlazení) - Regulace teploty každé místnosti zvlášť. Lze také nastavit při otevření okna vypnutí topení.
- Režimy nastavených teplot - Lze nastavit tepelné režimy (Ekonomický, Komfort,...), které by měly budovu chránit před přehřátím, či promrznutím.
- Světelné scény - Lze nastavit intenzitu osvětlení, která osvětlení budou svítit, případně i barvu, kterou budou zářit.
- Rozdělení místností na více obvodů
- Použití virtuálních asistentů - Je možno ovládat instalaci hlasovými povely přes virtuální asistenty (Alexa, Google Home,...)
- Simulace přítomnosti - Při nepřítomnosti na delší dobu lze nastavit spínání světel, které navodí dojem, že obyvatel neopustil budovu.
- Kontrola spotřeby energií - Lze monitorovat spotřebu energií v každém obvodu zvlášť a díky tomu omezit spotřebu, vypnout spotřebič při překročení určité hranice, nebo optimalizovat vlastní zdroje energie (fotovoltaické panely).

1.3 Sběrnicové instalace

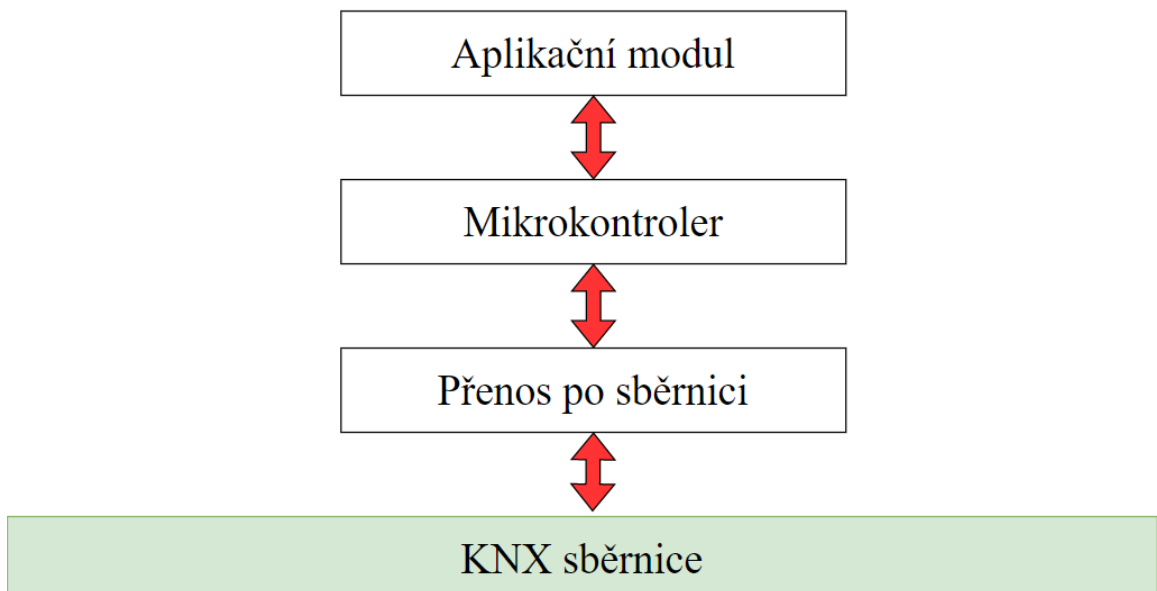
Sběrnicová instalace je založená na koncepci ICT (Information and Communication Technology). Tři hlavní aspekty této koncepce jsou [4]:

- Náhrada klasických spínačů tlačítkovými ovladači schopnými komunikace, nebo připojení klasických spínačů k rozhraním schopných komunikace
- Připojení rozhraní se schopností komunikace, nebo nepřímého ovládání (spínací přístroje schopné komunikace) ke všem spotřebičům
- Propojení veškerých přístrojů schopných komunikace kabelem určeným na bezpečné malé napětí

1.3.1 Sběrnicové přístroje

Zařízení připojené ke sběrnici se schopností komunikovat s dalšími přístroji se nazývá sběrnicovým přístrojem a je tvořeno těmito částmi (viz. Obr. 1.1) [4]:

- Přenosový modul - vytváří rozhraní pro přenos informací
- Mikrokontroler - komunikace mezi přenosovým modulem a aplikačním modulem
- Aplikační modul - obvod tvořící přístroj¹



Obr. 1.1: Součásti sběrnicového přístroje [4]

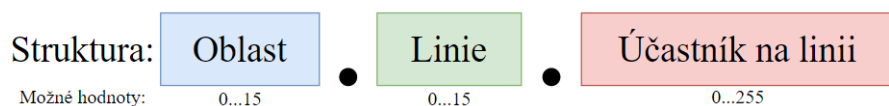
¹Spojení přenosového modulu a Mikrokontroleru tvoří tzv. sběrnicovou spojku (bus coupler unit BCU).

Přístroje lze ještě dělit na aktivní a pasivní. Pasivní přístroje nejsou součástí ICT, ale jedná se o podpůrné přístroje určené pro podporu procesu. Ve zkratce to znamená, že nekomunikují s ostatními přístroji. Jedním z příkladů pasivních přístrojů jsou napájecí zdroje. Příkladem pasivních přístrojů jsou napájecí zdroje (Napájecí zdroje mohou být rozšířené ještě o ICT, ale není to časté). Aktivní přístroje lze rozdělit do těchto kategorií [4]:

- Rozhraní - propojuje sběrnici a PC
- Spojky - Optimalizují komunikaci v systému
- Snímače - Předávají informace sběrnicovému systému
- Akční členy - propojují klasické spotřebiče se sběrnicovým systémem

1.3.2 Adresování

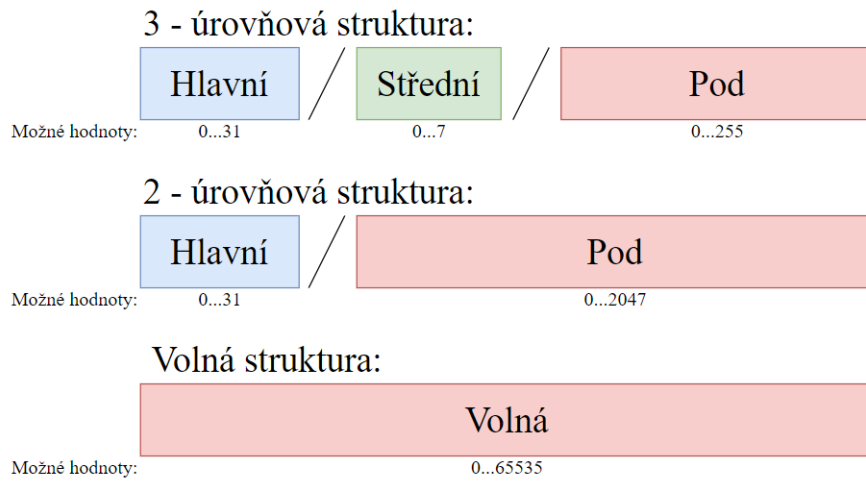
Individuální adresa je v instalaci jedinečná, tj. neexistuje další stejná adresa a požívá se k přesné identifikaci přístroje na sběrnici. Adresa je 16-bitová a je rozdělená na tři části (viz Obr. 1.2).



Obr. 1.2: Struktura individuální adresy [6]

Nastavování individuální adresy na přístroji probíhá většinou stiskem programovacího tlačítka na přístroji. Při stisknutí tlačítka se rozsvítí programovácí LED. Individuální adresa se přístroji přiděluje natrvalo. Po přidělení již ETS posílá příslušná data (aplikace, konfigurace, parametry, skupinové adresy).

Při uvedení do provozu komunikace probíhá pomocí skupinových adres. Jedná se o adresy definované programátorem pro každou funkci v systému. Celkově je možno použít 65535 adres s tím, že adresa 0/0/0 je rezervována pro tzv. broadcast (Hlášení všem přístrojům na sběrnici). Programátor si také může zvolit, kterou z uvedených struktur použije (viz Obr. 1.3). Nejčastěji se využívá třístupňová struktura kvůli přehlednosti. Hlavní skupina se používá na číslo podlaží, střední skupina na funkci (např. 1 = osvětlení, 2 = topení, 3 = stínění etc.) a podskupina pro konkrétní spotřebič, nebo skupinu spotřebičů. [6]

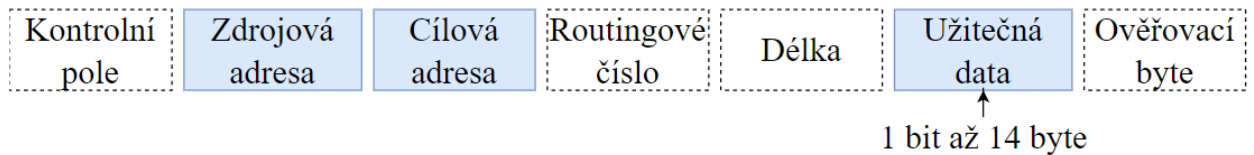


Obr. 1.3: Příklad struktury skupinových adres [6]

1.3.3 Komunikace po sběrnici

Komunikace přístrojů na sběrnici probíhá pomocí tzv. telegramů (viz Obr. 1.4), kde je délka dat závislá na typu datového bodu (1bit - 14bytů). Nejdůležitější části telegramu jsou tři bloky [6]:

- Zdrojová adresa - udává adresu přístroje který telegram vyslal
- Cílová adresa - adresa přístroje, kterému je telegram určen
- Užitečná data - příkaz co má daný přístroj vykonat

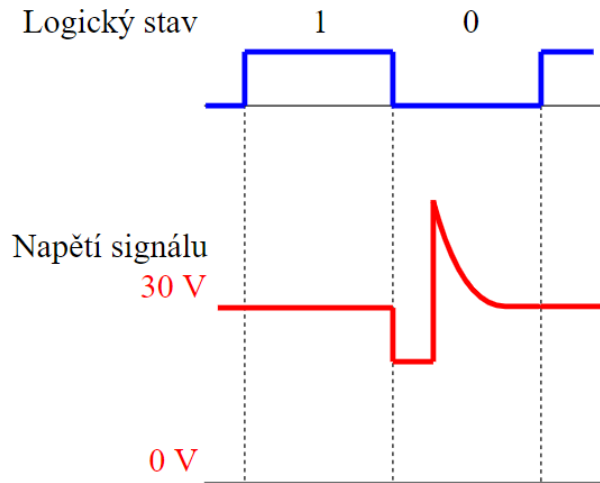


Obr. 1.4: Struktura telegramu [6]

Telegramy na sběrnici čtou všechny přístroje, ale vykoná jej pouze přístroj určený cílovou adresou.

Komunikace na sběrnici probíhá pouze v případě, že je na sběrnici logická "1". V opačném případě je sběrnice přeplněná a pokračuje ve vysílání pouze přístroj s logickou "0" (viz Obr. 1.5). [6]

Aby jsme se vyhli kolizím a jeden z přístrojů mohl vysílat je přenos řízen principem CSMA/CA (Carrier Sense Multiple Access with Collision Avoidance vícená-sobný přenos s vyhnutím se kolizím), který funguje tak, že pokud přístroj odesílající



Obr. 1.5: Struktura bitu kroucené dvojlinky [6]

logickou “1” detekuje logickou “0”, aby se uvolnila cesta pro přenos jinému přístroji. Přístroj s přerušeným přenosem sleduje provoz na sběrnici a vyčká do konce přenosu jiného zařízení a poté zkusí znova vysílat. [6]

1.3.4 KNXnet/IP

Pro překlenutí fyzické sběrnice KNX a IP síti slouží protokol *KNXnet/IP*, který definuje dva základní režimy:

Tunelování (Tunnelling)

Tunelování umožňuje bod–bod komunikaci mezi KNX sběrnicí a IP klientem. KNX telegramy se zabalí do UDP/IP paketů a posílají na port 3671. Server udržuje pro každé TCP/UDP spojení vlastní *Individual Address*, kterou klientovi přidělí při navázání tunelu. Z toho v praxi vyplývají tyto tři možné režimy [12]:

- **Sdílená adresa (Shared IA)**

Režim A používá KNXnet/IP Server **stejnou Individual Address** pro všechny tunelovací relace. Klienti tedy sdílí mezi sebou jeden fyzický adresní bod na TP-lince. Výsledkem je jednoduchá konfigurace, ale horší rozlišovací schopnost mezi klienty posílajícími telegram.

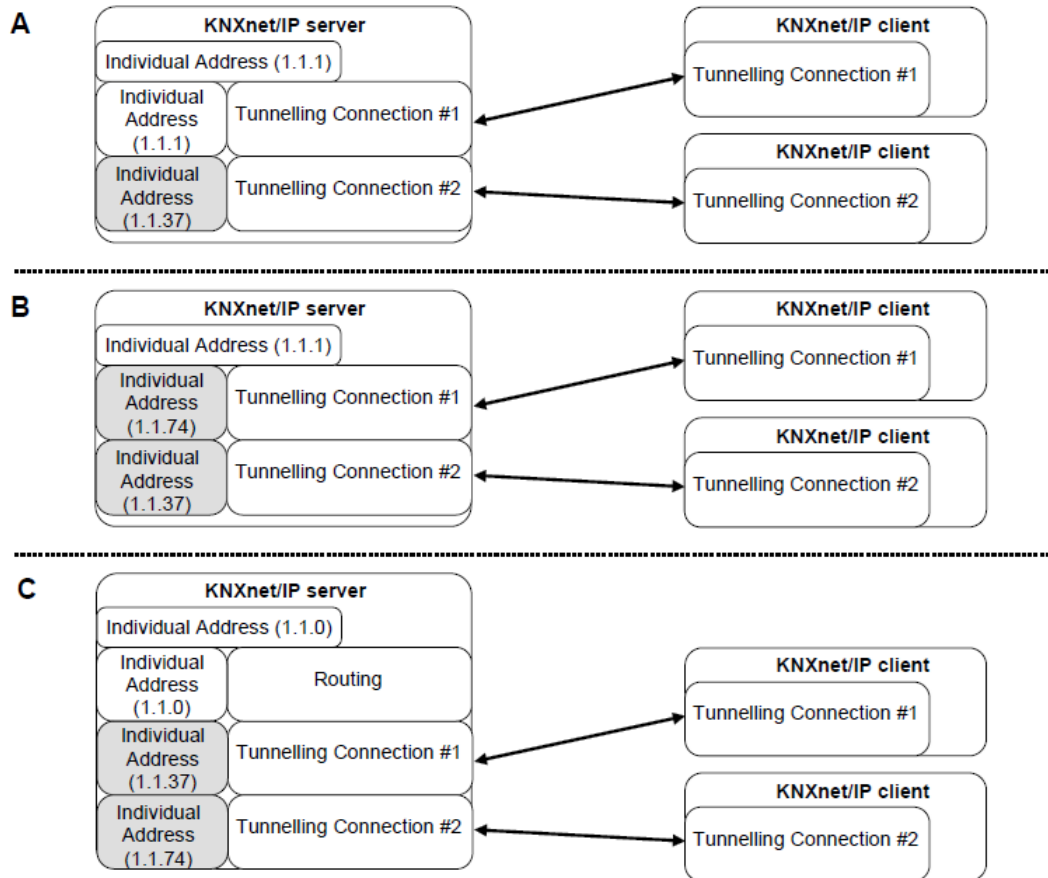
- **Dedikovaná adresa (Dedicated IA)**

Režim B přidělí každému tunelovacímu klientovi **unikátní Individual Address**. Tudíž lze monitorovat a spravovat každou relaci individuálně.

- **Kombinovaný režim (Routing + Tunnelling)**

V Režimu C server kromě přidělení dedikovaných tunelů funguje i jako KNX/IP

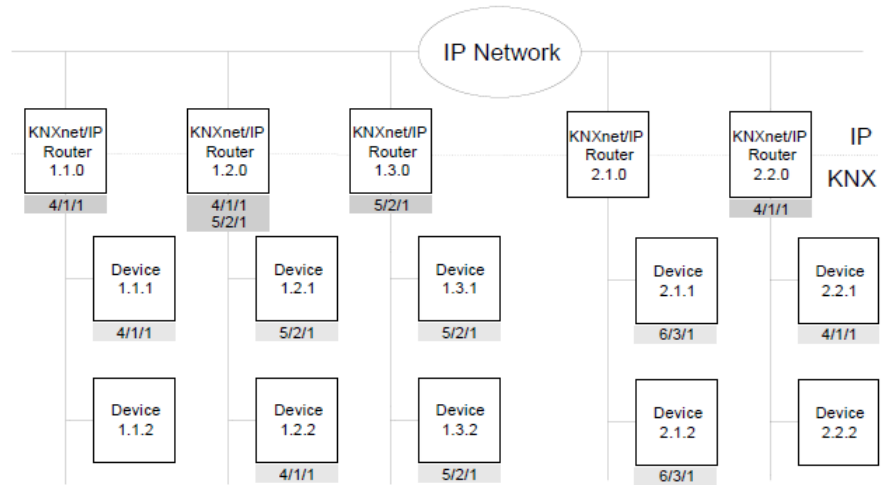
Router pro multicast skupinových telegramů. Má tedy jednu IA pro routování (např. 1.1.0), tak další IA pro tunnelling relace. Díky tomu zvládne jak point-to-point servis a diagnostiku, tak i point-to-multipoint přenosy mezi subnety.



Obr. 1.6: Tunelování [12]

Routing (Routing)

Routing zajišťuje přenos skupinových (point-to-multipoint) telegramů mezi více KNX liniovými segmenty (linky/subnety). Každý KNXnet/IP Router přijímá příchozí telegramy na multicastové skupině a podle filtrovaných adres je znova vysílá na KNX sběrniči. Díky tomu umožňuje velmi rychlé doručení telegramů současně do více destinací. [13]



Obr. 1.7: Routování [13]

1.3.5 Datový bod

Datové typy byly standardizovány za účelem zajištění kompatibility podobných přístrojů od různých výrobců. Jedná se například o stmívání, žaluzie a hodiny. Standardizace zahrnuje požadavky na formát dat a strukturu komunikačních objektů snímačů a akčních členů. I tak existuje více druhů datových bodů (DPT) se stejnou funkcionalitou. Kombinace různých typů DPT se nazývají funkčními bloky. [6]

Skutečná informace datového bodu:

- Není uložena v paměti zařízení.
- Není nikdy součástí telegramu
- Je pouze v projektu ETS

Typy datových bodů jsou zvláště důležité pro diagnostiku to znamená, že umožňují ETS monitorovat data spojená se skupinovými objekty, např. místo "data = 85 A8" je zobrazeno "data = -6 °C". [1]

Struktura datového bodu a notace [1]:

- Datový typ : formát + kódování
- Velikost: rozsah hodnot + jednotky

Notace datového bodu se píše ve tvaru X.YYY, neboli DATOVÝ TYP.VELIKOST.

Díky existenci datového bodu jsme schopní nastavit hodnotu osvětlení 3 různými způsoby [7]:

- Zapnutí/Vypnutí
- Krokové stmívání - Při poslání telegramu "start stmívání" osvětlení krokově roste o definovanou hodnotu. Po poslání "stop stmívání" hodnota neroste.

Tab. 1.1: Přehled nejpoužívanějších datových typů

| Značení | Formát | Funkce |
|---------|---------------------------------|--|
| 1.yyy | boolean | přepínání (001), krok (007),... |
| 3.yyy | boolean + 3-bit unsigned | stmívání |
| 5.yyy | 8-bit unsigned + 3-bit unsigned | stmívání(0-100%), pozice rolet(0-100%) |
| 7.yyy | boolean + 3-bit unsigned | čitač pulsů |
| 9.yyy | 16-bit float | přenos hodnoty teploty, jasu, rychlost větru |
| 14.yyy | 32-bit float | nastavení teploty |
| 19.yyy | čas + data | výstupy obrazovek |
| 20.yyy | 8-bit enumerace | Topení, chlazení a ventilace ('komfort',...) |

- Procentuální stmívání- Realizuje se pomocí cyklického posílání telegramu. Při každém přijetí telegramu se zvedne jas o nastavenou hodnotu.

1.4 Zabezpečení

Rozdíl mezi zařízeními KNX a zabezpečenými KNX Secure je ten, že zařízení KNX Secure jsou schopna šifrovat a dešifrovat telegramy. Tato technologie dodává instalaci extra zabezpečení, a to během uvádění instalace do provozu, tak i poté za běhu. Telegramy jsou zašifrované zabezpečenými zařízeními KNX se nazývají zabezpečené telegramy.

Lze rozlišit dva typy šifrovaných telegramů KNX [5]:

- Zcela zašifrované
 - Lze použít pouze na zařízeních KNX IP a je označováno jako KNX IP Secure.
 - Používá se, pro zabezpečení části instalace, která je vystavená externí IP síti (typicky se jedná o páteřní linku).
- Částečně zašifrované
 - Lze požít na libovolné komunikační zařízení KNX. Zařízení používající tento typ zabezpečení se nazývají KNX Data Secure
 - Toto šifrování můžeme použít i pro KNX IP, ale pouze pro tu část instalace, která není vystavena externí IP síti.

Oba typy zabezpečení obsahují MAC (Message Authentication Code).

Zabezpečená zařízení mají zabezpečený režim, který je v projektu ETS reprezentován vlastností nazvanou „Secure Commissioning“. Pouze když je tento režim aktivován, zařízení je schopno šifrovat a dešifrovat telegramy.

Zabezpečená zařízení mají tzv. "Tool Key". V moment, když je aktivován zabezpečený režim zařízení, je ETS schopen komunikovat s tímto zařízením pouze pokud

zná Tool Key tohoto zařízení.

Zabezpečená zařízení obsahují také Factory Default Setup Key (FDSK). FDSK je jedinečný pro každé zařízení a nelze jej upravovat ani mazat. ETS tento klíč může načíst jenom pomocí certifikátu (25znakový kód, který obsahuje sériové číslo a FDSK). Tool Key je v zásadě z výroby nastaven na FDSK. Tool Key může být také zpětně nastaven na FDSK pomocí tzv. "master resetu", který uvadí výrobce.

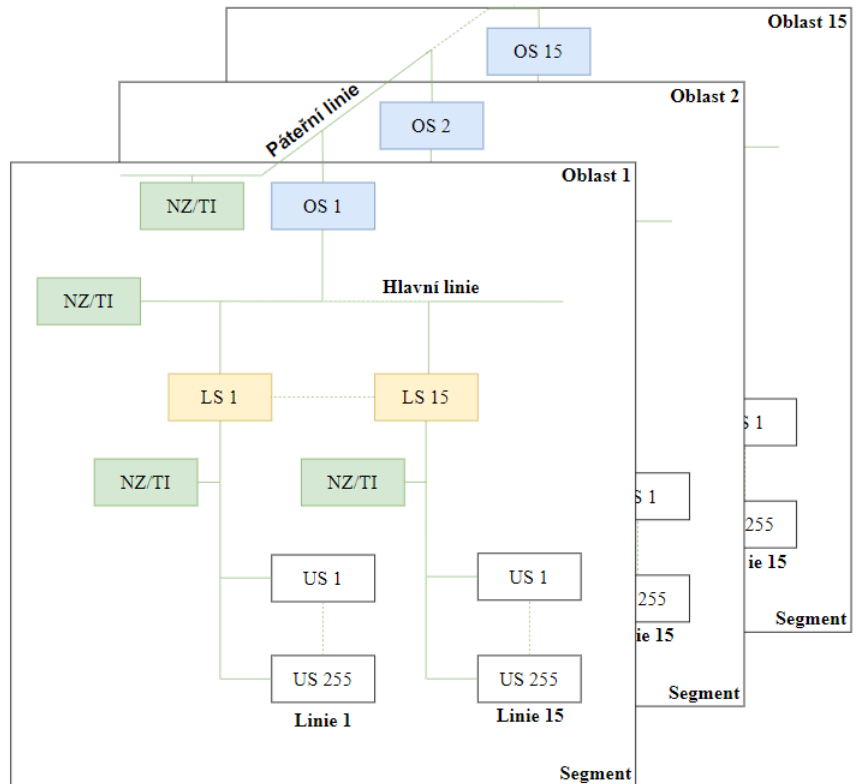
Po přidání zabezpečeného zařízení KNX do ETS a po přidání jeho certifikátu, ETS automaticky nastaví svůj Tool Key v projektu. To znamená, že uživatel ETS nemůže definovat/upravit Tool Key ručně, Tool Key také není viditelný pro uživatele ETS. [5]

1.5 Topologie

Základním kamenem topologie je hlavní linie, na kterou lze připojit až 256 přístrojů (účastníků sběrnice - US). Tato linie lze rozdělit až na 15 dalších segmentů za použití liniových opakovačů/spojek (LS). Na takto vzniklé segmenty (linie) připojit dalších 256 US. To vše ovšem závisí také na spotřebě přístrojů použitých v instalaci. To znamená, že celková spotřeba všech přístrojů nesmí překročit jmenovitý proud na druhé straně sběrnicového zdroje, který každá linie musí mít vlastní. Také lze mít maximálně 4 000 US na celé topologii. Toto množství lze také navýšit za použití oblastní spojky (OS) díky na páteřní linii. Po připojení vznikne tzv. nadřazená páteřní linie, která může pojmut až 16 oblastních spojek a celek rozdělí na dílčí páteřní linie. Celkový počet US na takovéto linii může být až 61 000. Reálné množství je v tomto případě omezeno zdrojem s tlumivkou (NZ/TI). [8]

Pro sběrnici KNX lze použít pouze tyto struktury kabeláže:

- Hvězdicová
- Liniová
- Stromová
- Kombinace výše uvedených



Obr. 1.8: Ukázka topologie KNX[8]

1.5.1 Individuální adresa

Individuální adresa se nastavuje s ohledem na umístění v topologii (Viz. Podkapitola 1.3.2).

Tab. 1.2: Individuální adresy v topologii [8]

| Prvek | Adresa | Funkce |
|----------------------|---------|--|
| Oblast | 0 | adresuje účastníky v páteřní linii |
| Oblast | 1...15 | adresuje oblasti |
| Linie | 0 | adresuje hlavní linii příslušné oblasti |
| Linie | 1...15 | adresuje linie obsažené v oblasti |
| Účastník na sběrnici | 0 | adresuje liniovou spojku příslušné linie |
| Účastník na sběrnici | 1...255 | adresuje sběrnicové přístroje obsažené v linii |

1.5.2 Spojka

V případě, že jsou v instalaci použity spojky a mají přiřazeny správné individuální adresy, budou při projektování v programu ETS (Kapitola 2) automaticky vytvořeny filtrační tabulky jednotlivých spojek. Filtrační tabulka obsahuje skupinové adresy, které smí projít skrz příslušnou spojku (obsahuje všechny obsažené skupinové adresy, které adresují SU umístěné za spojkou). Tudíž každá linie pracuje nezávisle.

Spojky jsou vytvořeny pro montáž na DIN lištu, kde se připojují primární i sekundární linie pomocí sběrnicové svorkovnice. Primární linie také funguje, jako napájení mikrokontroleru a při výpadku sítě ohlásí tuto skutečnost na sekundární linii. Jednou z výhod pojky je možnost programování z obou linií. Obsahují také žluté signalizující LED, které blikají pouze v případě, že spojka propustí telegram na příslušnou linii. Další vlastností spojky je galvanické oddělení mezi primární a sekundární linií. Poslední vlastností spojky je možnost přeměny na liniový opakovač. Opakovač se rozliší od spojky absencí nuly na konci individuální adresy (X.X.1 apod.). Využívá se pro rozšíření linie o další segment s 64 US. Tento úsek je limitován délkou kabelu, který může měřit maximálně 1000m. [8]

1.5.3 Routingové číslo

Každý telegram, který je vyslán přístrojem na obsahuje routingové číslo, které začíná na hodnotě 6. Toto číslo při každém průchodu spojkou, či opakovačem se dekrementuje dokud nedosáhne nulové hodnoty. Tuto vlastnost berou filtrační tabulky v potaz. Pokud se jedná o servisní telegram, tak routingové číslo má hodnotu 7, která se při průchodu spojkou nedekrementuje.². Tuto skutečnost berou v potaz i filtrační tabulky, které toto číslo ignorují, a tudíž všechny spojky tento telegram propustí. Tento telegram se vždy dostane k požadovanému účastníku bez ohledu na umístění. Toto číslo také brání zasmyčkování (nekonečnému kolování) telegramu. [8]

1.5.4 Interní a externí rozhraní

Systém KNX je otevřený jiným systémům za použití vhodných rozhraní umístěných na libovolné linii (většinou se jedná o páteřní linii). Lze připojit například programovatelný logický automat (PLC), digitální síť integrovaných služeb (ISDN), systémová technika budov, internet a mnohé další. Tato rozhraní přenáší obousměrně zprávy, které převede na komunikační protokol.

Nejedná se ovšem jenom o spojovaní KNX s externími médií, ale je možno spojít různá KNX média mezi sebou (např. spojení TP, RF, optika) [8].

²Spojky vyrobeny po roce 2019 mají schopnost tuto hodnotu dekrementovat

2 ETS

Jedná se o konfigurační softwarový nástroj nezávislý na výrobci pro navrhování a konfiguraci inteligentních instalací a pro řízení budov pomocí systému KNX. Tento software funguje pouze na počítačových platformách využívajících operační systém Windows. [11].

Pomocí softwaru lze [9]:

- Vkládat katalogové produkty do projektu - Produkty schválené asociací jsou obsaženy v katalogu a lze je použít v projektu. Produkty lze také přidat manuálně prostřednictvím aplikačních programů s koncovkou ".knxprod".
- Vytvořit architekturu objektu - rozdělit objekt na celky(budovy, patra, místnosti,...)
- Parametrizace produktů
- Vytváření skupinových adres
- Nahrávání řešení projektu do přístrojů
- Vzdálené ovládání připojeného projektu
- Diagnostika
- Vytvoření dokumentace

2.1 Tvorba instalace

Při vytváření projektu byl zvolen typ páteřní linie na IP, skupinové adresy na třístupňové a topologie zvolena jakožto TP, která byla použita, při tvorbě panelu.

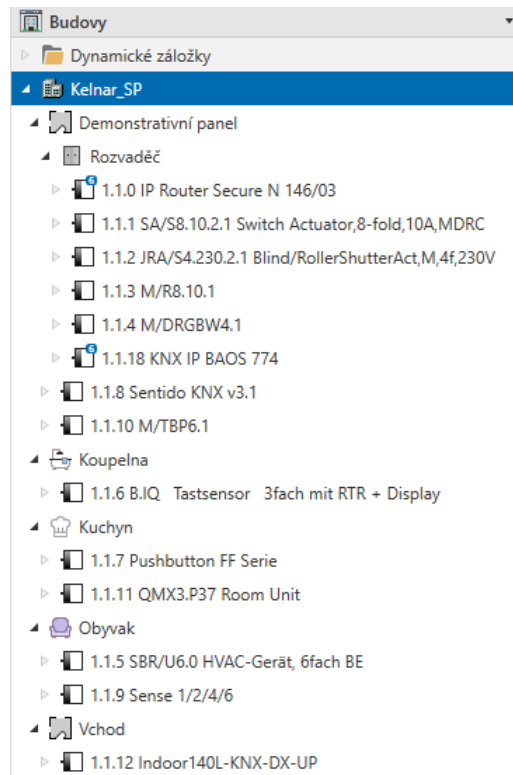
Po úspěšném založení projektu se program přepnul do pracovní části, která je složená z osmi oken [9]:

- Budovy - Rozdělení objektu na celky
- Skupinové adresy - Vytvoření a přiřazení skupinových adres přístrojům
- Topologie - Zobrazení rozložení vytvořeného projektu v topologii
- Kořeny projektu - Zobrazení všech oken kde se pracovalo
- Přístroje - Seznam přístojů v projektu
- Zprávy - Okno zaměřené na tvorbu dokumentace projektu
- Katalog - Vyhledání a vložení produktů do projektu
- Diagnostika - Okno určené pro otestování instalace

Pro vytvoření pracovního prostoru bylo použito okno budova. Prostor byl pojmenován Demonstrativní panel a byl rozdělen na 5 celků. Tyto celky reprezentují pokoje zobrazené na panelu (vchod, kuchyň, koupelna, obývací pokoj a rozvaděč umístěný v zadní části panelu). Tohle rozdělení bylo vytvořeno čistě pro zvýšení přehlednosti

objektu a následné ulehčení propojování přístrojů mezi sebou. Je nutno také dodat, že vytvoření jedné místnosti je podmínkou pro vkládání přístrojů do pracovní plochy.

Pro vložení přístrojů bylo nutno otevřít okno katalog, který ovšem neobsahoval použité přístroje. Díky této komplikaci bylo nutno navštívit webové stránky výrobců a následné stažení aplikačních programů. Tyto programy byly importovány do katalogu pomocí tlačítka "Import...". Vzhled projektu po přidání přístrojů lze vidět na Obr. 2.1.



Obr. 2.1: Projekt budovy v ETS

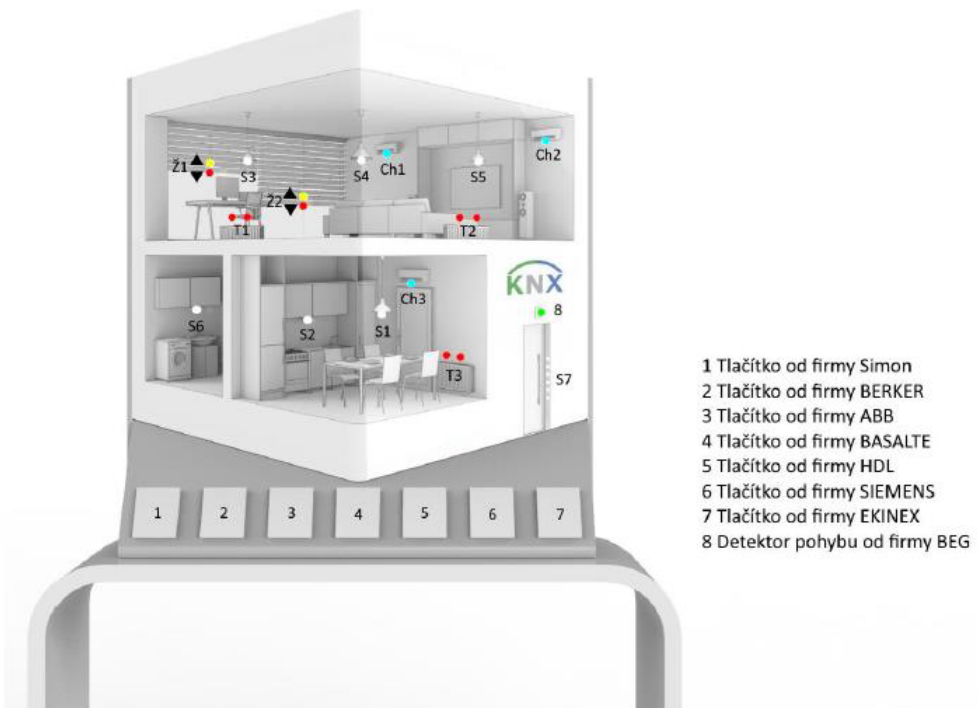
Po přidání všech přístrojů se zobrazila pracovní plocha, která slouží k zobrazení přehledu všech přístrojů (Zabezpečení - KNX Secure, individuální adresa prvku, místnost v projektu, použitý aplikační program, stav přístroje - nahrána adresa, program, parametrizace, skupinová adresa a informace o produktu). V sloupcích vyjadřujících stav přístroje jsou většinově pomlčky, které znázorňují, že nebyly nahrány všechny části do přístrojů. Tahle skutečnost je zdůvodněná změnami parametrů a skupinových adres.

| Zabez | Adresa | Místnost | Popis | Aplikační program | Adr | Prg | Par | Grp | Cfg | Výrobce | Objednací | Produkt |
|-------|----------------------|----------|-------|---|-----|-----|-----|-----|-----|---------------|---|---------|
| 11.0 | Rozvaděč | | | 091A.CO IP Router Secure 004003 | - | - | - | - | - | Siemens | 5WG1146...IP Router Secure N 146/03 | |
| 1.141 | Rozvaděč | | | Switch 8f 10A/3.2b | ✓ | - | - | - | ✓ | ABB | 2CDG 110 1...SA/SB.10.2.1 Switch Actuator;8-fold,10A,MDRC | |
| 1.142 | Rozvaděč | | | Blind/Roller Shutter 4f 230V M/1.4 | ✓ | - | - | - | ✓ | ABB | 2CDG 110 1...JRA/S4.230.2.1 Blind/RollerShutterAct,M,4f,23... | |
| 1.143 | Rozvaděč | | | Switch 8fold 10A (V1.2) | ✓ | - | - | - | ✓ | HDL | M/RB 1105...M/RB.10.1 | |
| 1.144 | Rozvaděč | | | RGBW 4fold Driver(V1.0) | ✓ | - | - | - | ✓ | HDL | M/DRGBW...M/DRGBW4.1 | |
| 1.145 | Obyvák | | | HVAC device, 6gang BE/1 | ✓ | ✓ | ✓ | ✓ | ✓ | ABB | SBR/U6.0 SBR/U6.0 HVAC-Gerät, 6fach BE | |
| 1.146 | Koupelna | | | B/IQ Multifunkční RTR + Display V2.161302 | - | - | - | - | ✓ | Berker | 7566359x B/IQ Tastsensor 3fach mit RTR + Display | |
| 1.147 | Kuchyn | | | APEKEDZTP | ✓ | ✓ | ✓ | ✓ | ✓ | Ekinex S.p.A. | EK-ED2-TP Pushbutton FF Serie | |
| 1.148 | Demonstrativní panel | | | Sentido KNX app v3.1 | ✓ | ✓ | ✓ | ✓ | ✓ | BASALTE | 200-02 Sentido KNX v3.1 | |
| 1.149 | Obyvák | | | Dsense | ✓ | ✓ | ✓ | ✓ | ✓ | Simon | 8400100-0... Sense 1/2/4/6 | |
| 1.150 | Demonstrativní panel | | | Touch 6buttons panel(1.1) | ✓ | ✓ | ✓ | ✓ | ✓ | HDL | M/TBPG 13...M/TBPG.1 | |
| 1.151 | Kuchyn | | | QMX3.P37 | ✓ | ✓ | ✓ | ✓ | ✓ | Siemens HVAC | QMX3.P37 QMX3.P37 Room Unit | |
| 1.152 | Vchod | | | DX_V6.x | ✓ | ✓ | ✓ | ✓ | ✓ | B.E.G. | 93393 Indoor140L-KNX-DX-UP | |

Obr. 2.2: Pracovní plocha v ETS

2.2 Parametrizace tlačítek a detektoru pohybu

V této podkapitole bude vysvětleno parametrizování použitých tlačítek. Ty byla pomyslně rozdělená do místností a nastaveny, tak aby spolupracovaly s nejbližšími prvky (světly, žaluziemi, klimatizací a topením), které jsou zobrazeny na Obr. ???. Pro vysvětlení byly vytvořeny tabulky popisu funkcí jednotlivých tlačítek.



Obr. 2.3: Grafický návrh panelu [9]

2.2.1 ABB - SBR/U6.0.1-84

Jedná se o šestinásobné tlačítko se zabudovaným termostatem, které lze použít na regulaci teploty, ovládání žaluzií, ovládání osvětlení a nastavení dvou scén, které mohou obsahovat až osm objektů. Každé stisknutí tlačítka změní barvu signalizační LED na předem stanovenou hodnotu (rozpoznání zapnuto/vypnuto). [14]



Obr. 2.4: Šestinásobné tlačítko s termostatem ABB - SBR/U6.0.1-84 [14]

Tlačítko bylo nastaveno na odesílání aktuální hodnoty teploty co deset minut. Tlačítka jsou rozložena po horizontálních párech s označením funkční blok 1 až 3. V záložce každého bloku byly nastaveny obě tlačítka na krátká a dlouhá stisknutí. V záložkách *Common parameter* byl vybrán typ objektu na 1-bit. Při krátkém stisknutí tlačítka odesílá hodnotu jedna, při dlouhém stisknutí posílá hodnotu 2. Následně v záložce *Extended parameters* byly nastaveny hodnoty odesílaných objektů u dlouhého stisknutí na on ("1") a u krátkého na off ("0"). V záložkách *LED Button* pro každý funkční blok byla každá dioda nastavena do modu status. Přijímaný objekt byl nastaven na 1-bit a hodnota jasu na *bright* nastavena signalizační barva LED diod na bílou při vypnutí a červenou při zapnutí.

2.2.2 Berker - 75663593

Osminásobné člačítko s termostatem by mělo být schopno regulovat pokojovou teplotu, ovládat žaluzie, ovládat osvětlení a scény. V této práci se ovšem nepovedlo nastavit ani při použití více zařízení a softwaru od Berkeru, který dokázal otevřít externí okno parametrizace v německém jazyce. Po ukončení parametrizace se parametry neuloží. [19]



Obr. 2.5: Osminásobné tlačítko - Berker - 75663593 [19]

2.2.3 Ekinex - EK-ED2-TP-RW

Jedná se o čtyřnásobné tlačítko se zabudovaným teplotním senzorem pro ovládání žaluzií, osvětlení a scén. [20]

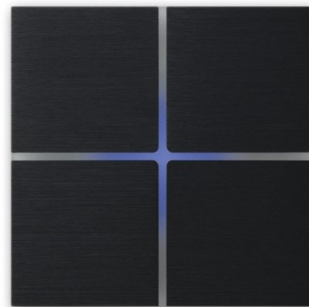


Obr. 2.6: Čtyřnásobné tlačítko Ekinex - EK-ED2-TP-RW [9]

Tlačítko bylo nastaveno v záložce *General* na dvě svislé klapky. Obě klapky byly nastaveny na dlouhé a krátké stisknutí. V případě první klapky se horní krátký stisk nastavil na funkci *toggle* (přepínání). Dlouhý stisk představuje funkci *off*. Pro dolní část klapky, je nastavení přesně opačné. Druhá klapka je nastavená stejným způsobem, akorát místo funkce *toggle* byla použita funkce *none*. Tato funkce zasílá "0", která znamená u žaluzií pohyb směrem nahoru.

2.2.4 Basalte - Senido 202-03

Další z použitých snímačů je čtyřnásobné dotykové tlačítka se zabudovaným snímačem teploty pro ovládání žaluzií, ovládání osvětlení a scén se schopností rozlišovat krátké a dlouhé stisknutí, a to nejen na jednom segmentu, ale má možnost snímat více segmentů najednou (multitouch). Dokáže ovládat, až šest scén s osmi objekty. Další ze schopností tlačítka je posílání tříbajtové hodnoty RGB. Poslední z funkcí tlačítka je zobrazování statusu díky RGB podsvícení. [17]



Obr. 2.7: Čtyřnásobné dotykové tlačítko Basalte - Senido 202-03 [17]

Tlačítko bylo nastaveno v záložce *General* na čtyři různá tlačítka. Dále se v této záložce povolila funkce řadiče scén. První trojici tlačítek, byla nastavena scéna, kterou při stisknutí budou volat. Každá z těchto scén byla nastavena v korespondující záložce označené číslem. Poslední tlačítko bylo nastaveno na demonstraci schopnosti zasílat hodnoty RGB. Jedná se o 2 nastavené hodnoty, které se rozlišují délkou stisku. Pro demonstraci funkce multitouch byly vybrána funkce *room toggle + General on/off/scene*. Pro krátký stisk byla vybrána scéna, která se zapne při krátkém stisku. Při druhém stisku se panel vypne. Dlouhý stisk má přiřazenou vlastní scénu. V záložce *Temperature senzor* bylo nastaveno, aby senzor zasílal teplotu každých 5 minut. Záložka *Scene controller* určiná pro nastavení řadiče scén, byla nastavena na všech osmi výstupech na hodnotu 1-bit.

2.2.5 Simon - 8400100-039

Čtyřnásobné tlačítka se zabudovaným RGB podsvícením a teplotním senzorem pro ovládání žaluzií a osvětlení. [26]

V záložce *General* bylo vybráno 4 tlačítkové provedení, které je použito na demonstrativním panelu. Jako další možnost, která byla povolena byl vnitřní senzor teploty. Poté v záložce *FeedBack* byly nastaveny hodnoty jasu a hlasitosti na maximum. Dále zde byla aktivována možnost zapnout vibrace při doteчku. Pro nastavení

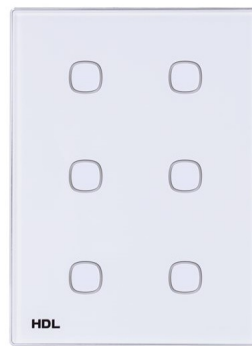


Obr. 2.8: Čtyřnásobné tlačítko Simon - 8400100-039 [26]

samotné funkcionality tlačítek se musela použít záložka *Inputs*, kde se nastavilo od-dělení tlačítek od sebe (všechna tlačítka jsou samostatně). Tlačítka v tomto případě jsou číslována od spodního levého rohu po sloupcech (1 a 2 levá strana, 3 a 4 pravá strana). Poté už se nastavovala samotná funkcionalita tlačítek. Byla vybrána možnost krátkého i dlouhého stisku. V případě krátkého stisku žaluzie vyjedou/sjedou samostatně. Dlouhý stisk znamená pohyb pouze v čase, kdy je tlačítko stisknuto.

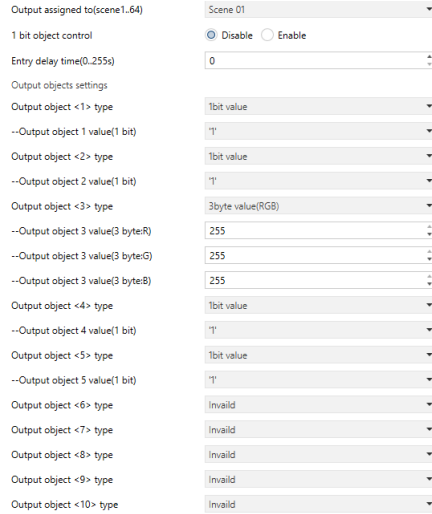
2.2.6 HDL - M/TBP6.1-A2

Předposlední tlačítko je od společnosti HDL. Jedná se o šestinásobné dotykové tlačítko Čtyřnásobné tlačítko se zabudovaným RGB podsvícením pro ovládání žaluzií, osvětlení, stmívání a ovládání dvou scén s deseti objekty. Dále také obsahuje RGB kontrolér, který dokáže posílat 3-byte hodnotu obsahující informace o intenzitě každé složky. [21]

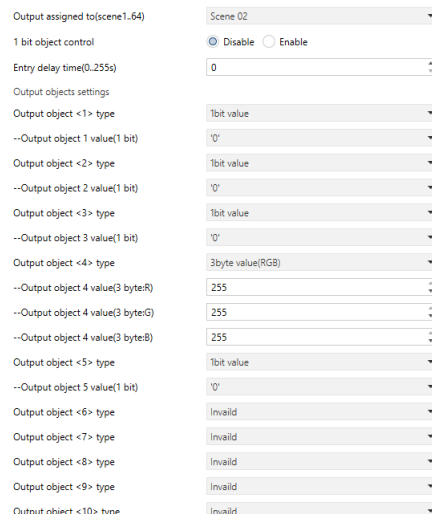


Obr. 2.9: Šestinásobné tlačítko HDL - M/TBP6.1-A2 [21]

První z parametrů, které je možno nastavit v záložce *General* byla citlivost dotyku, a to na hodnotu 4. Dále se pak povolily scény. Následně se obě scény nastaví v záložkách *Panel scene A* a *Panel scene B*. První scéna byla nastavena na dle Obr. 2.10 a druhá dle Obr. 2.11.



Obr. 2.10: Parametry scény A tlačítka HDL - M/TBP6.1-A2



Obr. 2.11: Parametry scény B tlačítka HDL - M/TBP6.1-A2

Při nastavování tlačítek bylo nutno nastavit krátké a dlouhé stisknutí tlačítek. Krátkému stisknutí byla přiřazena funkce *toggle*, která dovoluje přepínat osvětlení mezi hodnotami zapnuto a vypnuto. Dlouhé stisknutí bylo nastaveno na dobu 1s a používá se na stmívání. Pro demonstraci stmívání byly nastaveny různé hodnoty

kroku prvních 4 tlačítek. Každé z těchto tlačítek má nastavenou signaliční podsvícení na jinou hodnotu. První tlačítko bylo nastaveno červenou barvu, druhou na zelenou, třetí na modrou a čtvrté na bílou. Při signalizaci se zvýší jas barev o 70%. Zbylá 2 tlačítka byla přepnuta do modu RGB kontrolér, který odesílají hodnotu RGB jak pro krátké, tak i pro dlouhé stisknutí. Tato hodnota se také signalizuje při stisknutí tlačítka.

2.2.7 Siemens - QMX3.P37

Jedná se o ovládací panel určený na regulování pokojové teploty s integrovaným displejem. Tento displej dokáže zobrazovat vlhkost vzduchu, koncentraci CO₂ v ovzduší a samotnou teplotu místnosti. Také obsahuje osm tlačítek, která obsahují žluté statusové LED. Tento panel umožňuje také ovládání žaluzií, osvětlení a scény. [24]



Obr. 2.12: Ovladací panel Siemens - QMX3.P37 [24]

V tomto případě bylo zařízení nastaveno na spínání pomocí jednoho tlačítka. Nejprve v záložce *General* byla nastavena hodnota svitu signalačních LED na 100% hodnotu. V další záložce byl nastaven teplotní senzor na odesílání hodnoty každých 10 minut. Poté se už nastavovaly jednotlivé tlačítkové páry. Funkce páru byla zvolena *Individual*, která umožnila nezávislé fungování obou tlačítek. Dále se u obou tlačítek nastavila možnost *1 - button switching / send value, Short/long press* (dlouhé stisknutí po uplynutí 0,5s) a vybrala se možnost odesílání druhé hodnoty při dlouhém stisku. Levým tlačítkem byla přiřazena hodnota *on* a pravým *off*. Také byla nastavena signalizace stisku tlačítek. Kvůli tomu byla možnost *LED display* nastavena na *status object* a možnost *LED activation* pro levá tlačítka na *0 = LED off; 1 = LED on*. Pravá tlačítka byla nastavena *0 = LED on; 1 = LED off*. Po

pozdější úvaze o zefektivnění panelu se pro 1. a 4. řadu tlačítek změnil dlouhý stisk na *Toggle*.

2.2.8 B.E.G - Indor 140-L-KNX-DX

Poslední snímač, který se použil na panelu je detektor přítomnosti s teplotním senzorem a dvěmi tlačítky. [18]

Parametrizace tohoto prvku byla celá v němčině, a to dosti zkomplikovalo postup. První záložka *Grundeinstellungen* (Základní nastavení) se nastavila hodnota teploměru (Temperturmessung) na aktiviert. Poté v záložce teploměru se v možností zasílání teploty (*Temperaturwertsenden*) zvolilo odesílání při změně (bei Änderung). Další parametry byly nastaveny v záložce *Tastenfunktionen* (Klíčové funkce), kde se aktivovala tlačítka T1 a T2. Nastavení *Präsenzmelder* (Detektoru pohybu) zůstal v plně automatickém režimu (*Vollautomatik*). V první podzáložce detektoru pohybu byla nastavená doba vypnutí na 30 sekund. Při nastavování obou tlačítek byl vybrán režim spínání (*Betriebsart*).



Obr. 2.13: Detektor pohybu B.E.G - Indor 140-L-KNX-DX [9]

2.3 Parametrizace akčních členů

Tahle podkapitola se zaměřuje na parametrizaci použitých akčních členů umístěných v rozvaděči na zadní straně panelu.

2.3.1 ABB SA/S8.10.2.1

Tento osmikanálový spínací člen nebyl nikdy parametrizován za účelem dosáhnutí ponechání ve stavu spínacího aktoru, který zasílá status pouze při změně. Úkolem tohoto aktoru je spínání LED představující topení (šest) a klimatizaci (dvě).



Obr. 2.14: Osmikanálový spínací člen ABB - SA/S8.10.2.1 [15]

2.3.2 ABB - JRA/S4.230.2.1

Jedná se o čtyřkanálový žaluziový člen, který je určen na ovládaní žaluzií. Jelikož se v projektu používají pouze 2 žaluziové okruhy, tak se využívá pouze polovina akčního členu. Využívají se první dva kanály. Jediná změna od původní parametrizace je v záložkách *Drive* pro jednotlivé kanály a to nastavení ukončení pohybu po 5 sekundách (tj. žaluzie může po stisku vyjíždět/sjíždět po dobu maximálně 5 sekund).



Obr. 2.15: Čtyřkanálový žaluziový člen ABB - JRA/S4.230.2.1 [16]

2.3.3 HDL - M/R8.10.1

Osmikanálový spínací člen HDL se v této práci využívá, na spínání osvětlení respektive 7 LED, které představují osvětlení umístěné v domě. V případě tohoto členu nebyla nutná žádná změna oproti původnímu nastavení parametrů. Všechny kanály jsou nastaveny, jako spínací aktor s typem kontaktu Normally Opened (NO). Zasílání statusu probíhá pouze při změně hodnoty.



Obr. 2.16: Osmikanálový spínací člen HDL - M/R8.10.1 [22]

2.3.4 HDL - M/DRGBW4.1

Čtyřnásobný stmívací člen poskytnutý společností HDL, byl v této práci použit na ovládání RGBW LED pásku ukrytém v demonstrativním panelu. Výhodou tohoto člena je možnost ovládat kanál barevných složek zvlášť. Každý kanál (*Channel*) je nastaven na odesílání stavové hodnoty (1bit) při změně. Dále se nastavily hodnoty času pro stmívání v záložkách *dimming config* každého kanálu na 1 sekundu pro zapnutí i vypnutí.



Obr. 2.17: Čtyřnásobný stmívací člen HDL - M/DRGBW4.1 [23]

2.4 Připojená komunikační rozhraní

Pro umožnění parametrizace a externího řízení bylo nutno přidat do projektu dvě různá rozhraní pro komunikaci. První z nich je IP Secure router Siemens - 5WG1 146-1AB03, který je převážně určen k bezpečnému přenosu dat. Lze z něj také využít jako liniová spojka. [25]

Tomuto rozhraní byla pouze nastavena IP adresa, maska a základní brána pro komunikaci s RaspberryPi skrze tunelování.



Obr. 2.18: IP Secure router Siemens - 5WG1 146-1AB03 [25]

Druhé komunikační rozhraní použité na panelu je Weinzierl - KNX IP BAOS 774. Využívá se za účelem komunikace skrze telegramy, nebo datové body. Dále umožňuje přístup k objektům pomocí TCP/IP protokolu anebo za pomoci webového rozhraní. [27]

Tohle rozhraní také bylo parametrisováno pro komunikaci s PLC. Byla mu nastavena odlišná IP adresa, stejná maska a brána jako u předchozího rozhraní. Dále se v něm definovaly datapointy pro komunikaci. Ty jsou definované v tabulce 2.1.



Obr. 2.19: Komunikační rozhraní Weinzierl - KNX IP BAOS 774 [28]

Tab. 2.1: Datapointy pro komunikaci KNX IP BAOS 774 s PLC

| Datapoint | Typ | Účel |
|-----------|--------|-----------------------------------|
| 1. | DPT 1 | Světlo pracovna zpětná vazba |
| 2. | DPT 1 | Světlo obývací pokoj zpětná vazba |
| 3. | DPT 1 | Světlo televize zpětná vazba |
| 4. | DPT 1 | Světlo linka zpětná vazba |
| 5. | DPT 1 | Světlo kuchyně zpětná vazba |
| 6. | DPT 1 | Světlo koupelna zpětná vazba |
| 7. | DPT 1 | Vchodové světlo zpětná vazba |
| 8. | DPT 1 | Topení pracovna zpětná vazba |
| 9. | DPT 1 | Topení televize zpětná vazba |
| 10. | DPT 1 | Topení kuchyň zpětná vazba |
| 11. | DPT 1 | Klimatizace pracovna zpětná vazba |
| 12. | DPT 1 | Klimatizace televize zpětná vazba |
| 13. | DPT 1 | Klimatizace kuchyně zpětná vazba |
| 14. | DPT 1 | Levé žaluzie zpětná vazba |
| 15. | DPT 1 | Levé žaluzie příkaz |
| 16. | DPT 1 | Pravé žaluzie zpětná vazba |
| 17. | DPT 1 | Pravé žaluzie příkaz |
| 18. | DPT 1 | Světlo pracovna příkaz |
| 19. | DPT 1 | Světlo obývací pokoj příkaz |
| 20. | DPT 1 | Světlo televize příkaz |
| 21. | DPT 1 | Světlo linka příkaz |
| 22. | DPT 1 | Světlo kuchyně příkaz |
| 23. | DPT 1 | Světlo koupelna příkaz |
| 24. | DPT 1 | Vchodové světlo příkaz |
| 25. | DPT 1 | Topení pracovna příkaz |
| 26. | DPT 1 | Topení televize příkaz |
| 27. | DPT 1 | Topení kuchyň příkaz |
| 28. | DPT 1 | Klimatizace pracovna příkaz |
| 29. | DPT 1 | Klimatizace televize příkaz |
| 30. | DPT 1 | Klimatizace kuchyně příkaz |
| 31. | DPT 1 | Krokování levé žaluzie |
| 32. | DPT 1 | Krokování levé žaluzie |
| 33. | DPT 18 | Scéna odchod |
| 34. | DPT 9 | Teplota okolí panelu |

2.5 Vytvoření skupinových adres projektu

V závislosti na informacích obsažených v podkapitole 1.3.2 se tato podkapitola zaměří pouze na tvorbu skupinových adres. První část této podkapitoly bude věnována vytvoření a popsání tabulek jednotlivých místností. Tyto tabulky bude použity pro popis funkce jednotlivých tlačítek a následně pro tvorbu skupinových adres. Dále tyto tabulky nebudou obsahovat tlačítko společnosti Berker, které nelze parametrisovat.

První místnost, které budou nastaveny jsou kuchyně a koupelna. Do těchto prostor byly pomyslně nainstalovány tlačítka společnosti Ekinex a Siemens. Aby se využilo maximálně těchto tlačítek, budou využita obě tlačítka i v jiných místnostech. Zejména se jedná o tlačítko Ekinex, které má na pravé klapce žaluzie. V případě tlačítka Siemens se jedná pouze o využití velkého množství tlačítek, které budou použity při dlouhém stisku na ovládání celé budovy.

Tab. 2.2: Funkce kuchyňských tlačítek pro krátké stisknutí

| Tlačítko | Ekinex | Siemens |
|----------|--------------------|--------------|
| 1. | S1 Zapnuto/Vypnuto | Ch3 Vypnuto |
| 2. | S2 Zapnuto/Vypnuto | Ch3 Zapnuto |
| 3. | Ž1, Ž2 krok nahorů | T3 Vypnuto |
| 4. | Ž1, Ž2 krok dolů | T3 Zapnuto |
| 5. | - | T3/1 Vypnuto |
| 6. | - | T3/1 Zapnuto |
| 7. | - | T3/2 Vypnuto |
| 8. | - | T3/2 Zapnuto |

Tab. 2.3: Funkce kuchyňských tlačítek při dlouhém stisknutí

| Tlačítko | Ekinex | Siemens |
|----------|----------------------------|-----------------------|
| 1. | S1, S2, S6 Zapnuto/Vypnuto | Ch1 Zapnuto/Vypnuto |
| 2. | S6 Zapnuto/Vypnuto | Ch2 Zapnuto/Vypnuto |
| 3. | Ž1, Ž2 nahorů | T1, T2, T2 Vypnuto |
| 4. | Ž1, Ž2 dolů | T1, T2, T2 Zapnuto |
| 5. | - | Ch1, Ch2, Ch3 Vypnuto |
| 6. | - | Ch1, Ch2, Ch3 Zapnuto |
| 7. | - | S1,S2,S6 Vypnuto |
| 8. | - | S3,S4,S5 Zapnuto |

Dalším místností se dvěma pomyslně nainstalovanými tlačítky je obyvací pokoj. Jedná se o tlačítka společnosti ABB a Simon. Tlačítko Simon bude použito na ovládání žaluzií a tlačítka ABB na ovládání topení, chlazení a světel v místnosti.

Tab. 2.4: Funkce tlačítek obývacího pokoje při krátké stisknutí

| Tlačítko | ABB | Simon |
|----------|-----------------|----------------|
| 1. | T1 Vypnuto | Ž1 krok nahorů |
| 2. | T2 Vypnuto | Ž1 krok dolů |
| 3. | Ch1,Ch2 Vypnuto | Ž2 krok nahorů |
| 4. | S3 Vypnuto | Ž2 krok dolů |
| 5. | S4 Vypnuto | - |
| 6. | S5 Vypnuto | - |

Tab. 2.5: Funkce tlačítek obývacího pokoje při dlouhém stisknutí

| Tlačítko | ABB | Simon |
|----------|-----------------|-----------|
| 1. | T1 Zapnuto | Ž1 nahorů |
| 2. | T2 Zapnuto | Ž1 dolů |
| 3. | Ch1,Ch2 Zapnuto | Ž2 nahorů |
| 4. | S3 Zapnuto | Ž2 dolů |
| 5. | S4 Zapnuto | - |
| 6. | S5 Zapnuto | - |

Dotyková tlačítka společností Basalte a HDL byla určena na ovládání scén a barvy pozadí objektu. Tlačítko společnosti basalte v této práci reaguje pouze na krátký dotek jednotlivých tlačítek. Tahle skutečnost je způsobena použitím scén. Při použití funkce volání scény nelze využít dlouhého dotek. Další z vlastností tlačítka je již zmínovaný multitouch, který funguje na bázi doteku dvou a více ploch najednou. V této práci je použit krátký dotek na zavolání scény odchod a dlouhý dotek na volání scény příchod.

Tab. 2.6: Funkce dotykových tlačítek při krátké stisknutí

| Tlačítko | Basalte | HDL |
|----------|----------------|-------------------------|
| 1. | Scéna dovolená | Červené podsvícení |
| 2. | Scéna léto | Zelené podsvícení |
| 3. | Scéna zima | Modré podsvícení |
| 4. | RGB Kontroler | Bílé podsvícení |
| 5. | - | Nastavená hodnota RGB 1 |
| 6. | - | Nastavená hodnota RGB 2 |

Tab. 2.7: Funkce dotykových tlačítek při dlouhém stisknutí

| Tlačítko | Basalte | HDL |
|----------|---------|-----------------------------|
| 1. | - | Červené podsvícení stmívání |
| 2. | - | Zelené podsvícení stmívání |
| 3. | - | Modré podsvícení stmívání |
| 4. | - | Bílé podsvícení stmívání |
| 5. | - | Nastavená hodnota RGB 3 |
| 6. | - | Nastavená hodnota RGB 4 |

Poslední z použitých spínačů je detektor pohybu, kterému bylo logicky přiřazeno přední světlo domu.

Ze vzniklých tabulek byly vytvořeny skupinové adresy, které byly rozděleny do skupin dle přístroje (Světla, Žaluzie, Topení, Klimatizace, LED, Scény a Měření). Tyto skupiny se dále dělí na podle funkcionality a množství. Poslední vrstva již představuje jednotlivé objekty, nebo scény. Výpis skupinových adres je součástí příloh.

3 Vizualizace skrze programovatelný logický automat

V této kapitole se nachází popis jednotlivých částí ovládání instalace skrze PLC firmy TECO - CP-2007 [29], které obsahuje knihovny pro práci s KNX/IP [32] a MQTT [33] a dále integrovaný webový server pro vizualizaci [34]. Všechny tyto části jsou podrobněji rozvedeny v následujících podkapitolách. Ovládání a vizualizace instalace je možné provádět i skrze PLC jiných výrobců za předpokladu, že mají implementované knihovny pro komunikace KNX/IP a MQTT. PLC výrobce TECO bylo vybráno kvůli jeho specializaci na domácí automatizaci, dostupnosti a ceně.

3.1 CP - 2007

Jedná se základní modul řídícího systému Foxtrot v provedení s jednojádrovým procesorem ARMv7 o frekvenci 792MHz a databoxem o velikosti 128kB, který je vyroben pro přichycení na DIN Lištu. Obsahuje 2 ethernet porty, 2 sériové porty, 15 vstupů z nichž je 14 univerzálních a 1 galvanicky oddělený digitální, 15 výstupů z nichž je 11 releových a 4 analogové. Dále pak obsahuje 2 sloty na rozšiřující moduly. [29]



Obr. 3.1: CP-2007 [29]

3.2 Mosaic

Ovládání instalace bylo realizováno v programovacím prostředí společnosti TECO - Mosaic, které je určeno pro programování PLC. Toto prostředí nabízí široké spektrum funkcí a nástrojů pro programování, vizualizaci a správu projektů [30]:

- **Programovací jazyky dle IEC 61131-3 [31]:**
 - Ladder Diagram (LD)
 - Function Block Diagram (FBD)
 - Structured Text (ST)
 - Instruction List (IL)
 - Sequential Function Chart (SFC)
 - Continuous Function Chart (CFC)
- **Simulační nástroje:**
 - Simulátor PLC
 - Simulátor panelu
- **Archivační nástroje:**
 - Datalogger
 - Správce souborů projektu
 - Správce knihoven
- **Nástroje pro tvorbu vizualizace:**
 - WebMaker
 - PanelMaker
 - GraphMaker
- **Inženýrské a pomocné nástroje:**
 - Mapování uživatelských registrů
 - I/O konfigurátor
 - PID Maker
 - PLCnet Manažer
 - LangMan (jazykový manažer)
 - Debugger
 - IEC Manažer
 - Asistent 16 → 32 (Převod 16bitového projektu na 32bitový)
 - Texty KEY2 (Správa textových řetězců pro operační panely KEY2)
 - Import KNX (Import konfigurace KNX IP BAOS z csv souboru)
 - Firmware Updater
 - Project Loader
 - Set PLC IP
 - Mosaic Updater
 - Jazyk prostředí / IDE Language

3.2.1 Ovládací prvky

Pro ovládání instalace byly vytvořeny funkční bloky, které byly poté použity v realizaci logiky programu:

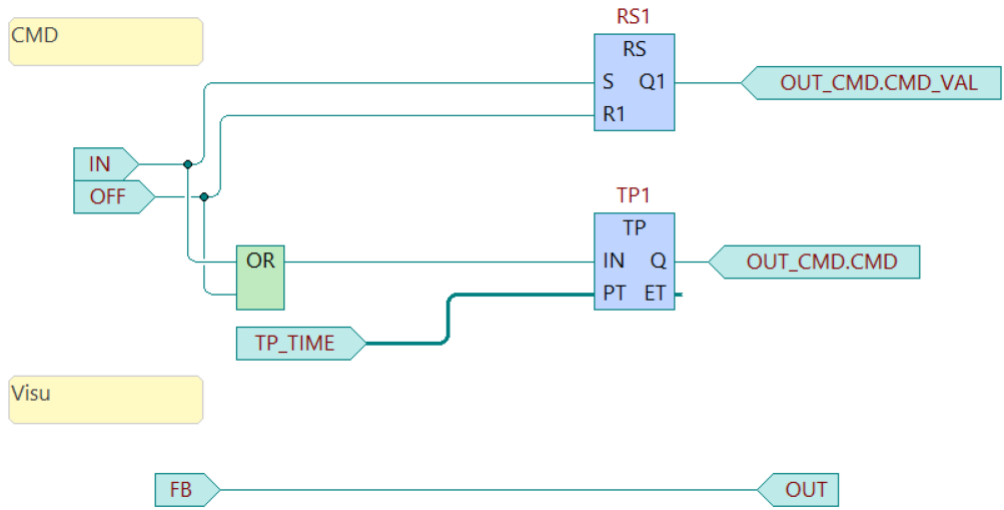
- **Základní funkční bloky:**
 - fbKNXVisuBool - Ovládání binárních signálů skrze vizualizaci
 - fbKNXShutters - Ovládání žaluzií skrze vizualizaci
 - fbRoomTempMod - Modelovaní teploty místnosti v závislosti na parametrech a vstupech z topení a klimatizace (měření teploty z panelu bude neměnné - neumožní demonstraci změny teploty)
- **Funkční bloky jednotlivých místností:**
 - fbLivRoom - Ovládání obývacího pokoje a simulace teploty
 - fbKitch - Ovládání kuchyně a simulace teploty
 - fbBath - Ovládání koupelny a simulace teploty
 - fbOutz - Ovládání vstupu a měření venkovní teploty (teplota z panelu)

Níže jsou uvedeny definice jednotlivých funkčních bloků, které byly použity pro ovládání a vizualizaci instalace. Pro jejich realizaci byly použity jazyky CFC a ST.

fbKNXVisuBool

Výpis 3.1: Definice funkčního bloku fbKNXVisuBool

```
1 FUNCTION_BLOCK fbKNXVisuBool
2   VAR_INPUT
3     IN          : BOOL R_EDGE; //Světlo ON Vizu
4     OFF         : BOOL R_EDGE; //Světlo OFF Vizu
5     FB          : BOOL; //KNX Světlo Feedback
6   END_VAR
7   VAR_OUTPUT
8     OUT_CMD    : DT_CMD_BOOL; //KNX CMD
9     OUT         : BOOL; //Visu hodnota
10  END_VAR
11  VAR
12    TP_TIME : TIME := T#1S; //KNX CMD délka
13    RS1 : RS;
14    TP1 : TP;
15  END_VAR
```



Obr. 3.2: fbKNXVisuBool

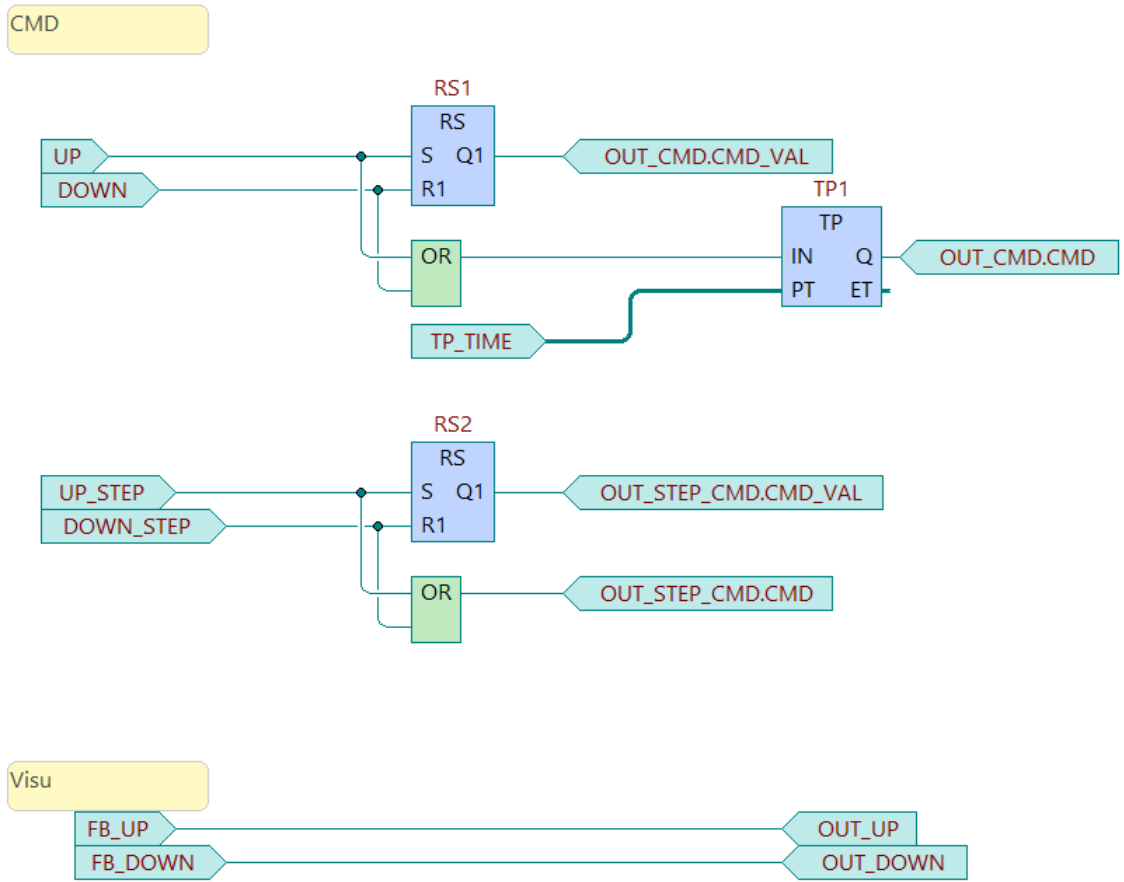
fbKNXShutters

Výpis 3.2: Definice funkčního bloku fbKNXShutters

```

1  FUNCTION_BLOCK fbKNXShutters
2
3  VAR_INPUT
4      UP          : BOOL R_EDGE; //Rolety nahoru Vizu
5      DOWN         : BOOL R_EDGE; //Rolety dolu Vizu
6      UP_STEP      : BOOL; //Rolety nahoru krok Vizu
7      DOWN_STEP    : BOOL; //Rolety dolu krok Vizu
8      FB_UP        : BOOL; //KNX Rolety Feedback nahoru
9      FB_DOWN      : BOOL; //KNX Rolety Feedback dolu
10
11     END_VAR
12
13     VAR_OUTPUT
14         OUT_CMD      : DT_CMD_BOOL; //KNX CMD
15         OUT_STEP_CMD : DT_CMD_BOOL; //KNX CMD krok
16         OUT_UP        : BOOL; //Visu nahoru
17         OUT_DOWN      : BOOL; //Visu dolu
18
19     END_VAR
20
21     VAR
22         TP_TIME : TIME := T#1S; //KNX CMD délka
23         RS1   : RS;
24         TP1   : TP;
25         RS2   : RS;
26
27     END_VAR

```



Obr. 3.3: fbKNXShutters

fbRoomTempMod

Na modelování teploty místnosti byl vytvořen jednoduchý matematický model, který měl za úkol zobrazit změnu v závislosti na působení topení a klimatizace. Uvažujeme, že místnost je kvádr o rozměrech specifikovaných uživatelským vstupem. Tento kvádr je naplněný vzduchem, který má určitou váhu, ze které lze vypočítat energie potřebná ke změně o teploty o 1 °C.

$$V = a \cdot b \cdot c \quad (3.1)$$

$$m = \rho \cdot V \quad (3.2)$$

$$Q = m \cdot c_p \quad (3.3)$$

Kde:

- V - objem vzduchu v místnosti [m^3]
- a, b, c - rozměry místnosti [m]
- m - hmotnost vzduchu v místnosti [kg]

- ρ - hustota vzduchu při tlaku jedné atmosféry a teplotě 20 °C - 1.204 [kg/m³]
- Q - energie potřebná ke změně teploty o 1 °C [J]
- c_p - měrná tepelná kapacita vzduchu - 1005 [J·kg⁻¹·K⁻¹]

Dále uvažujeme obal kvádru (stěny, podlahu a strop) s různými tloušťkami a tepelnými vodivostmi (Fourierův zákon vedení tepla 3.6). Pro zjednodušení výpočtu se předpokládá, že dveře a okna místo nemají rozdílný vliv oproti stěnám a tudíž tepelný tok zůstává na celé ploše strany stejný a směr toku závisí pouze na poměru teplot na obou stranách zdi. Dále je předpoklad nulových teplot z jiných směrů. Také budeme předpokládat, že materiál bude všude stejný a to cihla.

$$S = a \cdot b \quad (3.4)$$

$$\Delta T = T_{in} - T_{out} \quad (3.5)$$

$$\phi_{Strana} = \frac{\lambda \cdot S \cdot \Delta T}{c} \quad (3.6)$$

Kde:

- S - plocha strany [m²]
- a, b, c - rozměry strany [m]
- ΔT - rozdíl teploty na obou stranách strany [°C]
- T_{in} - teplota uvnitř místnosti [°C]
- T_{out} - teplota venku [°C]
- ϕ_{Strana} - tepelný tok [W]
- λ - tepelná vodivost cihly - 0.4 [W·m⁻¹·K⁻¹]

Další součástí simulace je topení a klimatizace, které jsou dodávány pouze jako binární signály. Pro jednoduché modelování byly vytvořeny funkce růstu (logaritmický) a poklesu (exponenciální) výkonu. Tyto funkce jsou zobrazeny na Obr. 3.4. Dále k těmto rovnicím byly vytvořeny korekční členy, které ovlivňují rychlosť funkcí a tudíž více přiblížily chování funkcí více realitě.

$$f_{Růst}(t) = \frac{\ln(1 + k_{Růst} \cdot t)}{\ln(1 + k_{Růst} \cdot t_{MaxRůst})} \cdot y_{Max} \quad (3.7)$$

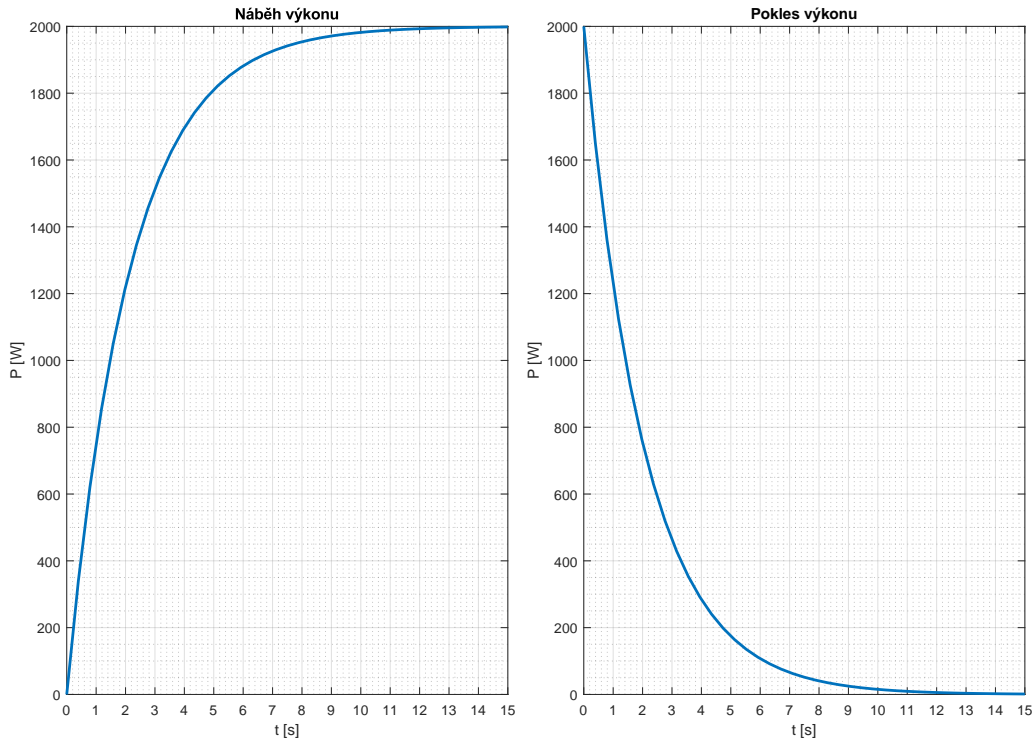
$$k_{Růst} = \frac{t_{MaxRise}}{t_{80}} \quad (3.8)$$

$$f_{Pokles}(t) = \frac{y}{e^{k_{Pokles} \cdot t}} \quad (3.9)$$

$$k_{Pokles} = \frac{\frac{y_{max}}{\varepsilon}}{t_{MaxPokles}} \quad (3.10)$$

Kde:

- $f_{Růst}(x)$ - funkce růstu výkonu [W]
- $k_{Růst}$ - korekční člen pro pokles [-]
- t - čas [s]
- $t_{MaxRůst}$ - maximální čas růstu výkonu [s]
- y_{Max} - maximální výkon [W]
- t_{80} - čas potřebný k dosažení 80% výkonu [s]
- $f_{Pokles}(x)$ - funkce poklesu výkonu [W]
- k_{Pokles} - korekční člen pro růst [-]
- y - aktuální výkon [W]
- ε - cílová hodnota pod kterou se výkon musí dostat [W]
- $t_{MaxPokles}$ - maximální čas poklesu výkonu [s]



Obr. 3.4: Průběh funkcí pro simulaci

Toto funkce bylo potřeba převést do rekurzivní podoby, aby bylo možné je implementovat do funkčního bloku.

$$y_{RůstTed} = y_{RůstPred} + \frac{\ln(1 + k_{Růst} \cdot \Delta t)}{\ln(1 + k_{Růst} \cdot T_{Max})} \cdot (y_{Max} - y_{RůstPred}) \quad (3.11)$$

$$y_{PoklesTed} = y_{PoklesPred} \cdot e^{k_{Pokles} \cdot \Delta t} \quad (3.12)$$

Kde:

- $y_{RustTed}$ - nový výkon [W]
- $y_{RustPred}$ - předchozí výkon [W]
- k_{Rust} - korekční člen pro pokles [-]
- Δt - časový krok [s]
- T_{Max} - maximální čas růstu výkonu [s]
- y_{Max} - maximální výkon [W]
- $y_{PoklesTed}$ - nový výkon [W]
- $y_{PoklesPred}$ - předchozí výkon [W]

Po vyčtení výkonu topení a klimatizace zbývá vypočítat teplotu v místnosti. Ten se získá součtu aktuální hodnoty teploty a přírůstku podílu působích toků a potřebné energie ke změně teploty (Rov. 3.3). Rovnice pro celkový tepelný tok je dána jako součet tepelných toků ze stran, výkonu topení a klimatizace (působí záporně).

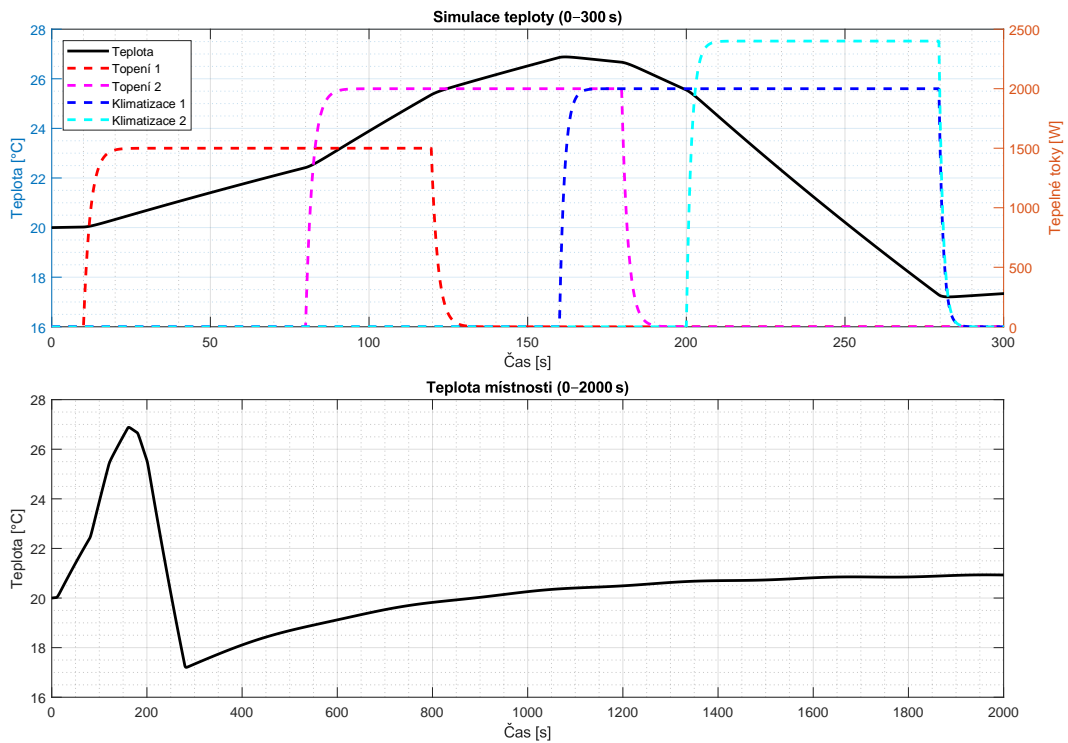
$$T_{Aktualni} = T_{Predchozi} + \frac{\phi_{Celkovy}}{Q} \quad (3.13)$$

$$\phi_{Celkovy} = \sum_{i=1}^6 \phi_{Strana_i} + \phi_{Topeni} - \phi_{Klimatizace} \quad (3.14)$$

Kde:

- $T_{Aktualni}$ - aktuální teplota [$^{\circ}\text{C}$]
- $T_{Predchozi}$ - předchozí teplota [$^{\circ}\text{C}$]
- $\phi_{Celkovy}$ - celkový tepelný tok [W]
- ϕ_{Strana_i} - tepelný tok ze strany i [W]
- ϕ_{Topeni} - tepelný tok z topení [W]
- $\phi_{Klimatizace}$ - tepelný tok z klimatizace [W]

Průběh teploty v místnosti je zobrazen na Obr. 3.5, kde je demonstrováno chování při běhu topení a klimatizace v horním grafu. Ve spodní části grafu je zase zobrazeno chování teploty bez působení topení a klimatizace. Teplota okolí je v tomto případě nastavená na $21\ ^{\circ}\text{C}$. Z průběhu lze vypozorovat, že se teplota ustálí na teplotu okolí a tudíž, lze považovat model za korektní.



Obr. 3.5: Simulace teploty v místnosti

Tento funkční blok byl použit pro simulaci teploty v obývacím pokoji, kuchyni. Definice tohoto funkčního bloku je zobrazena kvůli své velikosti v příloze C. Pro venkovní teplotu byl použit signál, který byl napojen na teploměr na panelu. V případě koupelny byla teplota simulovala jako sinusoida v rozmezí 18-22 °C a periodou 3 minuty. Tento způsob byl zvolen kvůli absenci teploměru a akčního členu pro řízení teploty.

funkční bloky jednotlivých místností

Funkční bloky jednotlivých místností se skládají z výše uvedených funkcí, které byly poskládány v závislosti na požadavcích jednotlivých místností - viz. Obr. 2.3. Všechny funkční bloky mají definici vypsanou v přílohách dokumentu:

- **fbBath** - V příloze D
- **fbKitch** - V příloze E
- **fbLivRoom** - V příloze F
- **fbOutz** - V příloze G

3.2.2 Komunikace KNX/IP

Důležitou součástí ovládání instalace je komunikace s KNX/IP, která byla realizována pomocí knihovny KNXlib [32]. Obsahem této knihovny jsou dva funkční bloky určené ke komunikaci:

- **fbKnxIpBaos** - Funkční blok pro komunikaci s KNX/IP BAOS 772 v režimu TCP master
- **fbKnxIpBaosBin** - Funkční blok pro komunikaci s KNX/IP BAOS 772/774 skrze binární protokol v režimu TCP Master

Dále tato knihovna obsahuje datové struktury, které obsahují definice jednotlivých datapointů, které jsou potřeba pro komunikaci mezi PLC a KNX/IP Baos 774:

Tab. 3.1: Definice KNX datapointů v PLC

| Typ objektu KNX | Datový typ PLC | Popis |
|-----------------|--------------------|--|
| DPT 01 | T_KNX_OBJECT_DPT1 | Binár – 1 Bit |
| DPT 02 | T_KNX_OBJECT_DPT2 | Binár s kontrolou (Priorita) – 2 Bits |
| DPT 03 | T_KNX_OBJECT_DPT3 | Stmívání nahoru/dolů – 4 Bit |
| DPT 04 | T_KNX_OBJECT_DPT4 | Znak – 1 Byte |
| DPT 05 | T_KNX_OBJECT_DPT5 | Scaling – 1 Byte (8 Bitová Unsigned hodnota) |
| DPT 06 | T_KNX_OBJECT_DPT6 | Signed hodnota – 1 Byte |
| DPT 07 | T_KNX_OBJECT_DPT7 | Unsigned hodnota – 2 Bytes |
| DPT 08 | T_KNX_OBJECT_DPT8 | Signed hodnota – 2 Bytes |
| DPT 09 | T_KNX_OBJECT_DPT9 | Float hodnota – 2 Bytes |
| DPT 10 | T_KNX_OBJECT_DPT10 | Čas – 3 Bytes |
| DPT 11 | T_KNX_OBJECT_DPT11 | Datum – 3 Bytes |
| DPT 12 | T_KNX_OBJECT_DPT12 | Unsigned hodnota – 4 Bytes |
| DPT 13 | T_KNX_OBJECT_DPT13 | Signed hodnota – 4 Bytes |
| DPT 14 | T_KNX_OBJECT_DPT14 | Float hodnota – 4 Bytes |
| DPT 15 | T_KNX_OBJECT_DPT15 | Access data – 4 Bytes |
| DPT 16 | T_KNX_OBJECT_DPT16 | Řetězec znaků – 14 Bytes |
| DPT 17 | T_KNX_OBJECT_DPT17 | Scéna – 1 Byte |
| DPT 18 | T_KNX_OBJECT_DPT18 | Kontroler scén – 1 Byte |
| DPT unknown | T_KNX_OBJECT_RAW | Max. 14 Byte, Data jako pole, byte-by-byte |

Realizace komunikace KNX/IP

Pro realizaci v tomto případě byla potřeba kromě přidání knihovny, a vytvoření programu ještě nastavit ethernet port. V tomto případě to byl do *ETH2* přidán obecný kanál *UNI1*, který bylo potřeba nastavit jako TCP Server. Dále je pak nutné

vytvořit proměnných dle tabulky datapointů 2.1, získat jejich adresy a poté je vložit do pole.

Dalším krokem je nastavení funkčního bloku *fbKnxIpBaosBin*. Nejprve se nastaví číslo prvního a posledního datapointu, který má funkční blok zpracovat, poté se nastaví použitý ethernet port a IP adresa KNX/IP BAOS 774 instalace. Nakonec se předá do portu *knxList* námi definované pole s adresami. Po tomto kroku je už možné pracovat s proměnnými a vytvoření logik.

V případě této práce se používají pouze 3 druhy datapointů a to:

- **DPT 1** - ovládání a indikace binárního signálu
- **DPT 9** - hodnota teploty z teploměru
- **DPT 18** - ovládání scény

Níže je uvedena ukázka realizace komunikace, která vyplývá z implementace uvedené v příloze H:

Výpis 3.3: Implementace komunikace KNX/IP

```
1 PROGRAM prgKNXComm
2
3     VAR
4
5         init : BOOL;
6         knx : fbKnxIpBaosBin;
7
8         knxObjectList      : ARRAY[1..4] OF UDINT; // pole adres
9         datapoint1        : T_KNX_OBJECT_DPT1;       // SV1_FB
10        datapoint2        : T_KNX_OBJECT_DPT1;       // SV1_CMD
11        datapoint3        : T_KNX_OBJECT_DPT18;      // scéna
12        datapoint4        : T_KNX_OBJECT_DPT9;       // teplota
13
14     END_VAR
15
16
17 IF NOT init THEN // Pole adres
18     knxObjectList[1] := PTR_TO_UDINT( ADR(datapoint1));
19     knxObjectList[2] := PTR_TO_UDINT( ADR(datapoint2));
20     knxObjectList[3] := PTR_TO_UDINT( ADR(datapoint3));
21     knxObjectList[4] := PTR_TO_UDINT( ADR(datapoint4));
22
23     init := TRUE;
24
25 END_IF
26
27
28 knx( firstKnxObject := 1,
29      lastKnxObject := 4,
30      ethCode := ETH2_uni2,
31      knxIP := STRING_TO_IPADDR('192.168.xxx.xxx'),
32      knxList := void( knxObjectList));
```

```

26 SV1_FB := datapoint1.value; // Feedback
27 IF SV1_CMD THEN datapoint2.value := SV1_CMD.CMD_VAL; // CMD
28
29 IF SCENE THEN // scéna
30   datapoint3.control := TRUE;
31   datapoint3.scene    := 5;
32 END_IF
33
34 KNX_TEMPER := datapoint4.value; // Posílání teploty
35 END_PROGRAM

```

3.2.3 Komunikace MQTT

Bude přidáno 11.5.2024 po úspěšném testování a realizaci.

3.2.4 Vizualizace

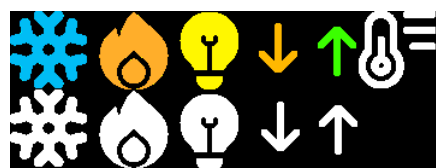
V této sekci je popsána tvorba vizualizace panelu pomocí integrovaného webového serveru. Nastavení a realizace webového serveru je realizována pomocí integrovaného nástroje WebMaker. Tento nástroj je popsán v dokumentaci [34]. Prvním krokem k vytvoření je vytvoření struktury projektu. V tomto případě to bude 5 stránek ve formátu .XML zasazených do webové struktury:

```

/Vizualizace
├── Prehled - PAGE1.xml
├── Venek - PAGE2.xml
├── Kuchyn - PAGE3.xml
├── Koupelna - PAGE4.xml
└── Obyvaci_pokoj - PAGE5.xml

```

Druhým krokem bylo importování sady ikonek, které byly použity jako vícerozměrné obrázky napojené na výstupy funkčních bloků uvedených v podkapitole 3.2.1. Tyto ikony byly získány na stránce Flaticon [35], která poskytuje vektorové ikony na projekty zdarma s možností úpravy.



Obr. 3.6: Ikony použité pro vizualizaci

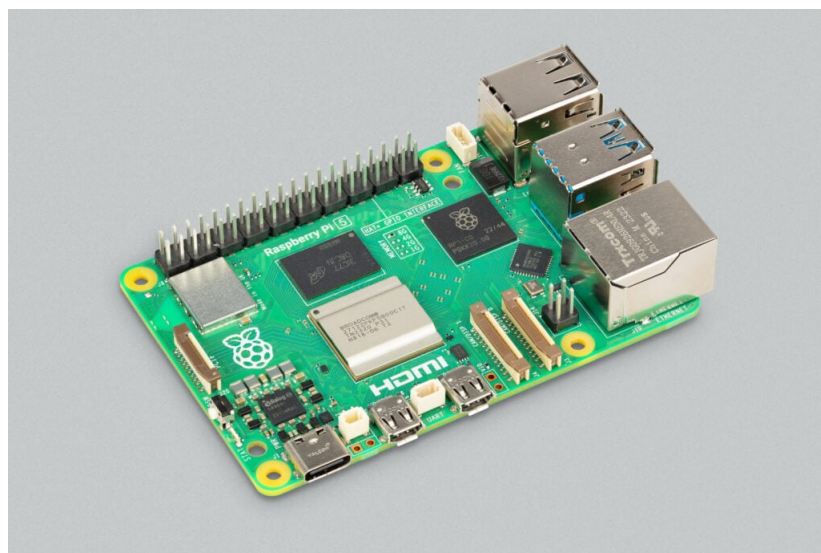
Dále se musely vytvořit ovládací tlačítka pro ovládání jednotlivých objektů. Tato tlačítka byla také vytvořena jako vícerozměrné obrázky, které byly napojeny na vstupy funkčních bloků. Pro zobrazování teplot v jednotlivých místnostech byla použita zadávací poles parametrem *Read only*. Výsledná vizualizace je uvedena v příloze J. Vzhled byl zvolen minimalistický a funkční s ohledem na viditelnost a přehlednost. Pozadí bylo zvoleno černé, aby šel lépe vidět kontrast ikon a textu. Dalším důvodem byla ochrana zraku při ovládání v noci.

4 Raspberry Pi 5

Jedná se o jednodeskový počítač, který je určen pro široké spektrum aplikací od IoT, rozpoznávání obrazu, strojového učení, robotiku až po multimediální aplikace. Mezi hlavní výhody patří nízká cena, malé provozní náklady, možná modularita přes GPIO piny, PCI expres a USB porty a velkým množstvím tzv. HAT modulů, které jsou určeny pro rozšíření funkcí. [36].

Pro tuto aplikaci bylo zvoleno Raspberry Pi 5 s 16 GB RAM, pamětí 256 GB a operačním systémem Raspberry Pi OS, který je stavěn na Linuxové distribuci Debianu. Hlavním důvodem výběru byla nízká cena, ale i jednoduchá dostupnost pro případného zájemce o domácí automatizaci, který by si chtěl systém ovládání a vizualizace vytvořit sám.

Jediným závažnějším problémem tohoto zařízení je "obrušování" paměťové karty na které je nahrán operační systém. Tento problém je způsoben častým zápisem, který postupně snižuje životnost, rychlosť a velikost paměti. V krajních případech i může dojít k úplnému zničení a ztrátě dat. K zamezení tohoto problému se historicky používala technika *wear leveling* - rozložení zápisu na celou paměťovou kartu, aby se snížil počet zápisů na jednotlivé buňky [37]. Teď už je možné použít M.2 NVMe SSD disk, který je připojen přes PCI expres a je mnohem rychlejší než paměťová karta. Tento disk je možné použít i jako bootovací disk, což zamezí problémům s bootováním a ztrátou dat. Další možností jak zpomalit toto obrušování je připojení USB flash disku, který za obětování rychlosti dokáže zamezit opotřebování paměti díky přenesení souborů s vyšší frekvencí zápisu - v tomto případě databáze.



Obr. 4.1: Raspberry Pi5 [36]

Alternativou k Raspberry Pi 5 můžou být LattePanda, ASUS NUC a podobné mikropočítače, které mají větší výkon, větší možnost výběru operačního systému (dostatečný výkon na Windows) a robustnost. Tyto výhody jsou kompenzovány vyšší pořizovací cenou, spotřebou a velikostí.

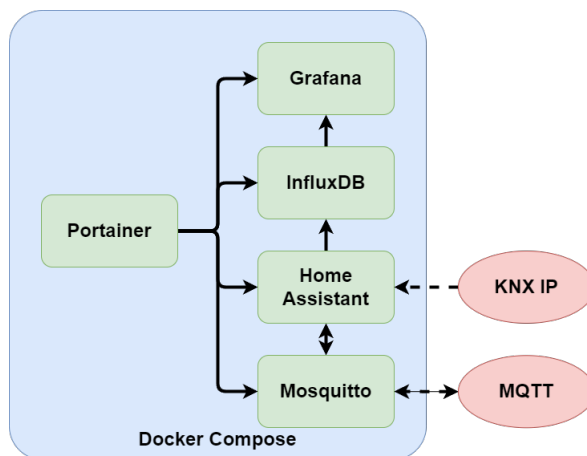
4.1 Docker Compose

Docker Compose je nástroj pro definici a správu více kontejnerových aplikací. Umožňuje uživatelům definovat aplikaci pomocí *YAML* souboru, které obsahují informace o kontejnerových službách, sítích a uložištích. [38]

Instalace Docker Compose je jednoduchá a rozepsaná na oficiálních stránkách Dockeru. Obsahuje pouze tři kroky, které jsou již připravené pro kopírování do terminálu. [39]

4.1.1 Kontejnerizace

Kontejnerizace je způsob virzualizace aplikací, které umožňuje spouštět v izolovaném prostředí s garancí funkčnosti v jakémkoliv prostředí, založený na linuxové technologii LXC (Linux Containers). Tento způsob je výhodný pro nasazení aplikací, které mají různé závislosti a konfigurace. Umožňuje také snadné nasazení a škálování aplikací. Dále tento způsob virtualizace dodává kompletní prostředí, jako jiné virtuální stroje, ale s menšími režijními nároky na výkon a paměť, které přichází s fungováním separátního kernelu a simulací veškerého hardware. [40] V případě této práce byl navrhnut Docker Stack, který je složený z několika kontejnerů, které spolu komunikují a vytváří tak komplexní systém na ovládání a vizualizaci domácí automatizace. Vzhled tohoto stacku i s komunikacemi je zobrazen na Obr. 4.2.



Obr. 4.2: Docker Stack

4.1.2 Tvorba YAML souboru

YAML soubor je textový soubor, který obsahuje definici kontejnerů a jejich konfigurací. Je napsán v jazyce YAML (YAML Ain't Markup Language), což je formát pro serializaci dat [41]. Níže je příklad vzhledu YAML souboru (Výpis 4.1), který by měl pomoci ke snadnému pochopení struktury a syntaxe [42].

Dále pak může YAML soubor obsahovat i environmentální proměnné, které se používají k nastavení kontejneru. Tyto proměnné mohou být obsaženy v souboru .env, který se používá k uchování citlivých informací, jako jsou hesla a API klíče. Tento soubor je načítán při spuštění kontejneru. [43]

Výpis 4.1: Ukazka YAML souboru

```
version: "3" # Verze Docker Compose
services: # Sluzby
    name_of_service: # Jmeno sluzby
        image: name_of_image:latest # Jmeno image
        container_name: name_of_container # Jmeno kontejneru
        networks: # Site
            - name_of_network # Jmeno site na ktere pobezi kontejner
        depends_on: # Zavislosti
            - name_of_service # Jmeno kontejneru na kterem zavisi
        environment: # Promenne prostredi
            - PUID=1000 # ID uzivatele, ktery bude mit pristup k souborum
            - PGID=1000 # ID skupiny, ktera bude mit pristup k souborum
            - TZ=Europe/Prague # Casove pasmo
            - WEBUI_PORT=1234 # Port na kterem pobezi webove rozhrani
            - DOCKER_MODS="linuxserver/mods:universal" # Docker modifikace
        volumes: # Slozky, ktere budou pripojeny do kontejneru
            - "/path/on/host:/path/in/container" # Cesta k souborum
        ports: # Porty pro pripojeni k hostitelske site
            - "host_port:container_port"
        deploy: # Nasazeni kontejneru
            resources:
                limits:
                    memory: 512m # Maximalni pamet
                    cpus: "1" # Maximalni CPU
                reservations:
                    memory: 256m # Minimalni pamet
                    cpus: "0.5" # Minimalni CPU
        restart: always # Restart kontejneru pri padu
        labels: # Metada
            - "com.docker.compose.project=project_name" # Nazev projektu
```

```
    - "com.docker.compose.service=service_name" # Název služby  
    - "com.docker.compose.version=1.0" # Verze služby
```

Celková implementace je v přílohách K a L.

4.1.3 Portainer

Jedná se o open-source kontejner, který slouží jako webové rozhraní pro správu Dockeru. Umožňuje uživatelům spravovat kontejnery, Image, Stacky, Sítě, Uložiště, čtení logů, sledování výkonu, správa portů a další funkce. Jednou z předních výhod je jednoduchost použití kromě rozhraní je i propojení s Docker Hubem, což je veřejná knihovna kontejnerů. [44]

4.2 Mosquitto

4.3 Home Assistant

4.4 Influxdb

4.5 Grafana

Závěr

Úkolem této semestrální práce je seznámit se sběrnicovým systémem KNX, který jsem prostudoval a popsal v první kapitole. Kapitola začala krátkým úvodem obsahujícím informace o asociaci, podmínkami pro přijetí do asociace a informovala o existenci norem. V první podkapitole je představena historie asociace od vzniku až dodnes. Další podkapitola nastínila možnosti využití sběrnicového systému. Třetí podkapitola je obsáhlější a popisuje sběrnicové přístroje. Nejdříve jejich funkci-
nalitu, poté vysvětuje problematiku adresování, které je nedílnou součástí správné komunikace po sběrnici. Další část vysvětluje, jak tato komunikace vlastně probíhá a jakou mají strukturu data, která na ní kolují. Poté následuje vysvětlení funkci-
nality datového bodu, který se používá všemi sběrnicovými přístroji KNX. Čtvrtá podkapitola se zabývá zabezpečením tohoto systému. Vysvětluje rozdíl mezi klasickými zařízeními a zabezpečenými zařízeními. Dále popisuje šifrování telegramů a končí vysvětlením režimu Secure Commissioning a funkce FDSK. Poslední podkapitola první části se zabývá topologií. Přesněji přibližuje základní rozdělení kabeláže na celky, individuální adresování v topologii, funkci spojek, funkci routingového čísla a končí vysvětlením funkce komunikačních rozhraní. Všechny tyto informace byly čerpány z materiálů školení poskytnutých samotnou asociací za účelem přípravy na školení.

Druhá kapitola je zaměřená na společnost FLOWBOX, a to zejména na seznámení se společností a její platformou. Tahle kapitola bude při příštím vydání práce rozšířena.

Třetí kapitola se popisuje praktickou část semestrální práce. Začátek kapitoly je koncipován, jako seznámení s prostředím, které se zvolna změnilo na popis tvorby projektu od založí, přes instalaci, parametrizaci až po vytvoření skupinových adres. U jednoho přístroje bohužel nešlo i přes různé pokusy změnit parametry, nebo jakoli přidat do skupinové adresy. Proto byl vyřazen z řešení této práce.

Literatura

- [1] Asociace KNX *Datapoint Type* Online. Dostupné z: <https://support.knx.org/hc/en-us/articles/115001133744-Datapoint-Type> [cit. 23. 12. 2021].
- [2] Asociace KNX *A History of KNX* Online. Dostupné z: https://crelectrics.com.au/wp-content/uploads/2015/05/a_history_of_KNX.pdf [cit. 1. 10. 2021].
- [3] Asociace KNX *KNX Basics* Online. Dostupné z: https://www.knx.org/wAssets/docs/downloads/Marketing/Flyers/KNX-Basics/KNX-Basics_cz.pdf [cit. 1. 10. 2021].
- [4] Asociace KNX *Principy systému KNX* Online. Dostupné z: https://knxcz.cz/images/clanky/KNX-System-Principles_cz.pdf [cit. 1. 10. 2021].
- [5] Asociace KNX *KNX Secure Devices* Online. Dostupné z: <https://support.knx.org/hc/en-us/articles/360000216419-KNX-Secure-Devices> [cit. 23. 12. 2021].
- [6] Asociace KNX *ISO/IEC 14543-3. KNX Celkový přehled*.
- [7] Asociace KNX *ISO/IEC 14543-3. KNX Systémové argumenty*.
- [8] Asociace KNX *ISO/IEC 14543-3. KNX TP Topologie*.
- [9] MITRENGA, Michal.: *Realizace demonstrativního panelu inteligentní elektroinstalace KNX*. Brno, 2021. Online. [cit. 26. 12. 2021]. Dostupné z: <https://www.vutbr.cz/studenti/zav-prace/detail/134788> Diplomová práce. *Vysoké učení technické v Brně, Fakulta elektrotechniky a komunikačních technologií, Ústav automatizace a měřicí techniky. Vedoucí práce Petr Fiedler.*
- [10] knx.org Online. Dostupné z: <https://www.knx.org> [cit. 1. 10. 2021].
- [11] knx.org *ETS Professional* Online. Dostupné z: <https://www.knx.org/knx-en-for-professionals/software/ets-professional/> [cit. 2. 1. 2022].
- [12] Asociace KNX *System Specifications KNXnet/IP - Tunelling* Online. Dostupné z: <https://community-openhab-org.s3-eu-central-1.amazonaws.com/original/2X/8/8b3ec554f60872e37763d2005edc1c4c1fb16887.PDF> [cit. 5. 5. 2025].
- [13] Asociace KNX *System Specifications - KNXnet/IP - Routing* Online. Dostupné z: <https://community-openhab-org.s3-eu-central-1.amazonaws.com/>

- com/original/2X/b/ba93de8a703a5ece40f0dfc1b596643cb28e8497.PDF [cit. 5. 5. 2025].
- [14] ABB - SBR/U6.0.1-84 Online. Dostupné z: <https://new.abb.com/products/2CKA006330A0004/sbr-u6-0-1-84> [cit. 28. 12. 2021].
- [15] ABB - SA/S8.10.2.1 Online. Dostupné z: <https://new.abb.com/products/2CDG110157R0011/sa-s8-10-2-1> [cit. 28. 12. 2021].
- [16] ABB - JRA/S4.230.2.1 Online. Dostupné z: <https://new.abb.com/products/2CDG110121R0011/jra-s4-230-2-1> [cit. 28. 12. 2021].
- [17] Basalte - Sentido aluminium - quad - Brushed black Online. Dostupné z: <https://www.knxstore.cz/domu/1000403-basalte-sentido-aluminium-quad-brushed-black-5425025030224.html> [cit. 28. 12. 2021].
- [18] B.E.G - Indoor 140-L-KNX-DX Online. Dostupné z: <https://www.beg-luxomat.com/cz/produkty/luxomatnet/knx/knx-gen6-deluxe-pritomnostni-detektor/indoor-140-l-knx-dx/> [cit. 28. 12. 2021].
- [19] Berker - B.IQ push-button 3gang with thermostat Display, KNX Online. Dostupné z: <https://www.berker.com/en/e-catalogue/building-management-systems/knx-systems/berker-knx-system/b.iq-push-buttons-with-thermostat/75663593/355802.htm?lang=en> [cit. 28. 12. 2021].
- [20] EKINEX - Pushbutton with thermostat Online. Dostupné z: <https://www.ekinex.com/en/15/pushbutton-with-thermostat.html> [cit. 28. 12. 2021].
- [21] HDL - M/TBP6.1-A2-46 Ovládací prvek 6násobný iTouch, bílá Online. Dostupné z: <https://b2b.hdl-automation.cz/cz/produkty/knx/ovladaci-prvky-hdl/ovladaci-prvky-itouch/hdl-m-tbp6-1-a2-46> [cit. 28. 12. 2021].
- [22] HDL - M/R8.10.1 8CH 10A High Power Switch Actuator Online. Dostupné z: <https://b2b.hdl-automation.cz/en/products/knx/switching-actuators/hdl-m-r8-10-1> [cit. 28. 12. 2021].
- [23] HDL - M/DRGW4.1 Akční člen stmívací LED 4násobný, 7 A Online. Dostupné z: <https://b2b.hdl-automation.cz/cz/produkty/knx/akcni-cleny-stmivaci/hdl-m-drgbw4-1> [cit. 28. 12. 2021].

- [24] SIEMENS - QMX3.P37 *Prostorový KNX přístroj, displej pro regulaci HVAC, čidlo teploty, konfigurovatelná tlačítka pro osvětlení/žaluzie/scény* Online. Dostupné z: <https://hit.sbt.siemens.com/RWD/app.aspx?RC=CZ&lang=cs&MODULE=Catalog&ACTION>ShowProduct&KEY=S55624-H108> [cit. 28. 12. 2021].
- [25] SIEMENS - 5WG1 146-1AB03 Online. Dostupné z: https://www.hqs.sbt.siemens.com/cps_product_data/data/search_find_en.htm?ssn=5WG11461AB03 [cit. 28. 12. 2021].
- [26] Simon *Standard button box 4 functions white Simon 82 Sense* Online. Dostupné z: <https://www.simonelectric.com/intl/8000641-030-standard-button-box-4-functions-white-simon-82-sense.html> [cit. 28. 12. 2021].
- [27] Weinzier - KNX IP BAOS 774 Online. Dostupné z: <https://www.weinzierl.de/index.php/en/all-knx/knx-devices-en/knx-ip-baos-774-en> [cit. 28. 12. 2021].
- [28] Weinzier - KNX IP BAOS 774 *Rozhraní BAOS do 1000 bodů* Online. Dostupné z: <https://knx-trade.ru/weinzierl/597-5263.html> [cit. 28. 12. 2021].
- [29] TECO - CP-2007 Online. Dostupné z: <https://wiki.tecomat.cz/clanek/cp-2007> [cit. 23. 4. 2025].
- [30] TECO - Mosaic Online. Dostupné z: <https://www.tecomat.cz/ke-stazeni/software/mosaic/> [cit. 23. 4. 2025].
- [31] TECO *Programování PLC podle normy IEC 61 131-3 v prostředí Mosaic* Online. Dostupné z: <https://catalog.tecomat.cz/produkt/programovani-dle-normy-iec-61-131#download> [cit. 23. 4. 2025].
- [32] TECO - Knihovna KnxLib Online. Dostupné z: https://www.tecomat.cz/modules/DownloadManager/download.php?alias=txv00380_01 [cit. 23. 4. 2025].
- [33] TECO - Knihovna MQTTLib Online. Dostupné z: <https://support.tecomat.cz/storage/app/uploads/public/633/acd/862/633acd8625f3d859405244.pdf> [cit. 23. 4. 2025].
- [34] TECO - WebMaker Online. Dostupné z: https://www.tecomat.cz/modules/DownloadManager/download.php?alias=txv00328_01_mosaic_webmaker_cz [cit. 23. 4. 2025].

- [35] Flaticon *The most wanted free SVG user interface icons* Online. Dostupné z: <https://www.flaticon.com/> [cit. 5. 5. 2025].
- [36] Raspberry Pi *Raspberry Pi 5* Online. Dostupné z: <https://www.raspberrypi.com/products/raspberry-pi-5/> [cit. 5. 5. 2025].
- [37] KIOXIA *Managed Flash Background Operations Series - Part 3: Understanding Wear Leveling in NAND Flash Memory* Online. Dostupné z: https://americas.kioxia.com/content/dam/kioxia/en-us/business/memory/mlc-nand/asset/KIOXIA_Managed_Flash_BOS_P3_Understanding_Wear_Leveling_Tech_Brief.pdf [cit. 5. 5. 2025].
- [38] Docker Compose Online. Dostupné z: <https://docs.docker.com/compose/> [cit. 5. 5. 2025].
- [39] Docker *Docker Installation for Debian* Online. Dostupné z: <https://docs.docker.com/engine/install/debian/> [cit. 5. 5. 2025].
- [40] Linux Containers *Container and Virtualization tools* Online. Dostupné z: <https://linuxcontainers.org> [cit. 5. 5. 2025].
- [41] Yaml *YAML Ain't Markup Language™* Online. Dostupné z: <https://yaml.org/> [cit. 5. 5. 2025].
- [42] Docker *Compose file version 3 reference* Online. Dostupné z: <https://docs.docker.com/compose/compose-file/> [cit. 5. 5. 2025].
- [43] Docker *Environment variables* Online. Dostupné z: <https://docs.docker.com/engine/reference/run/#env> [cit. 5. 5. 2025].
- [44] Portainer Online. Dostupné z: <https://www.portainer.io/> [cit. 5. 5. 2025].

Seznam symbolů a zkratek

| | |
|----------------|---|
| BCI | Batibus Club International (<i>Mezinárodní spolek Batibus</i>) |
| CSMA/CA | Carrier Sense Multiple Access with Collision Avoidance (<i>Vícenásobný přístup s detekcí obsazenosti nosiče a vyhýbání se kolizím</i>) |
| DPT | Datapoint (<i>Datový bod</i>) |
| EIBA | European Installation Bus Association (<i>Evropská asociace instalacích sběrnic</i>) |
| EHSA | European Home Systems Association (<i>Evropská asociace domácích systémů</i>) |
| ETS | Engineering Tool Software (<i>Software pro inženýrské nástroje</i>) |
| FDSK | Factory Default Setup Key (<i>Výchozí klíč továrního nastavení</i>) |
| IA | Individual Address (<i>Individuální adresa</i>) |
| ICT | Information and Communication Technology (<i>Informační a komunikační technologie</i>) acroIoT Internet of Things (<i>Internet věcí</i>) |
| IP | Internetový protokol |
| ISDN | Digitální síť integrovaných služeb |
| LED | Elektroluminiscenční dioda |
| LS | Liniová spojka |
| MAC | Message Authentication Code (<i>kód pro ověřování zpráv</i>) |
| MQTT | Message Queuing Telemetry Transport (<i>Protokol přenosu telemetrie s frontou zpráv</i>) |
| NO | Normally Opened (<i>Normálně sepnuté</i>) |
| NZ/TI | Zdroj s tlumivkou |
| OS | Oblastní spojka |
| PL | Powerline (<i>Přenos po elektrické sítí</i>) |
| PLC | Programovatelný logický automat |

| | |
|-------------|--|
| RF | Radiofrekvenční komunikační médium |
| RGB | Red–Green–Blue (<i>červená–zelená–modrá</i>) |
| TP | Twisted Pair (<i>Kroucená dvojlinka</i>) |
| US | Účastník sběrnice |
| WLAN | Wireless Local Area Network (<i>Bezdrátová místní síť</i>) |

Seznam příloh

| | |
|---|-----|
| A Skupinové adresy | 71 |
| B Globální proměnné a struktury PLC | 76 |
| C Definice funkčního bloku fbRoomTempMod | 78 |
| D Popis funkčního bloku fbBath | 83 |
| E Definice funkčního bloku fbKitch | 84 |
| F Definice funkčního bloku fbLivRoom | 86 |
| G Definice funkčního bloku fbOutz | 89 |
| H Program komunikace mezi PLC a KNX | 90 |
| I Program komunikace mezi PLC a Home Assistant - MQTT | 94 |
| J Vizualizace PLC | 95 |
| K Portainer YAML | 99 |
| L Stack YAML | 100 |

A Skupinové adresy



Skupinová adresa

Projekt: Kelnar SP

Počáteční datum: pondělí 29. listopadu 2021

Datum importu: pondělí 29. listopadu 2021

Tisknout datum: **pondělí 10. ledna 2022**

Čas tisku: 10:47:57

Stav: Editace

| Adresa | Název | Délka | Centrál | Vést přes liniovou spojku |
|-----------|----------------------|---------|---------|------------------------------|
| Popis | | | | |
| Komentáře | | | | |
| 0 | Světla | | | Ne |
| 0/0 | Jednotlive | | | Ne |
| 0/0/1 | S1_kuch | switch | Ne | Ne |
| 0/0/2 | S2_kuch_linka | switch | Ne | Ne |
| 0/0/3 | S3_prac | switch | Ne | Ne |
| 0/0/4 | S4_obyv | switch | Ne | Ne |
| 0/0/5 | S5_TV | switch | Ne | Ne |
| 0/0/6 | S6_koup | switch | Ne | Ne |
| 0/0/7 | S7_vstup | switch | Ne | Ne |
| 0/1 | Skupiny | | | Ne |
| 0/1/0 | S1,S2,S6_prizemi | switch | Ne | Ne |
| 0/1/1 | S3,S4,S5_patro | switch | Ne | Ne |
| 0/2 | Status | | | Ne |
| 0/2/0 | S1_Status_kuch | switch | Ne | Ne |
| 0/2/1 | S2_Status_kuch_linka | switch | Ne | Ne |
| 0/2/2 | S3_Status_prac | switch | Ne | Ne |
| 0/2/3 | S4_Status_obyv | switch | Ne | Ne |
| 0/2/4 | S5_Status_TV | switch | Ne | Ne |
| 0/2/5 | S6_Status_koup | switch | Ne | Ne |
| 0/2/6 | S7_Status_vstup | switch | Ne | Ne |
| 1 | Žaluzie | | | Ne |
| 1/0 | Pohyb | | | Ne |
| 1/0/0 | Ž1_pohyb | up/down | Ne | Ne |
| 1/0/1 | Ž2_pohyb | up/down | Ne | Ne |
| 1/0/2 | Ž1,Ž2_pohyb | switch | Ne | Ne |
| 1/1 | Krok | | | Ne |
| 1/1/0 | Ž1_krok | switch | Ne | Ne |
| 1/1/1 | Ž2_krok | 1-bit | Ne | Ne |
| 1/1/2 | Ž1,Ž2_krok | step | Ne | Ne |
| 2 | Topení | | | Ne |
| 2/0 | Jednotlive | | | Ne |
| 2/0/0 | T1_prac | switch | Ne | Ne |
| 2/0/1 | T2_obyv | switch | Ne | Ne |
| 2/0/2 | T3_kuch | switch | Ne | Ne |
| 2/0/3 | T3/1_kuch | switch | Ne | Ne |
| 2/0/4 | T3/2_kuch | switch | Ne | Ne |
| 2/1 | Skupiny | | | Ne |
| 2/1/3 | T1,T2,T3 | switch | Ne | Ne |
| 2/2 | Status | | | Ne |
| 2/2/0 | T1/1_prac_STATUS | switch | Ne | Ne |
| 2/2/1 | T1/2_prac_STATUS | switch | Ne | Ne |
| 2/2/2 | T2/1_obyv_STATUS | switch | Ne | Ne |

| Adresa | Název | Délka | Centrál | Vést přes liniovou spojku |
|--------|-----------------------|-----------------|---------|------------------------------|
| Popis | Komentáře | | | |
| 2/2 | Status | | | Ne |
| 2/2/3 | T2/2_obyv_STATUS | switch | Ne | Ne |
| 2/2/4 | T3/1_kuch_STATUS | switch | Ne | Ne |
| 2/2/5 | T3/2_kuch_STATUS | switch | Ne | Ne |
| 3 | Klimatizace | | | Ne |
| 3/0 | Jednotlivé | | | Ne |
| 3/0/0 | Ch1_prac | switch | Ne | Ne |
| 3/0/1 | Ch2_TV | switch | Ne | Ne |
| 3/0/2 | Ch3_kuch | switch | Ne | Ne |
| 3/1 | Skupiny | | | Ne |
| 3/1/0 | Ch1,Ch2,Ch3 | switch | Ne | Ne |
| 3/1/1 | Ch1,Ch2 | switch | Ne | Ne |
| 3/2 | Status | | | Ne |
| 3/2/0 | Ch1_obyv_leva_STATUS | switch | Ne | Ne |
| 3/2/1 | Ch2_obyv_prava_STATUS | switch | Ne | Ne |
| 3/2/2 | Ch3_kuch_STATUS | switch | Ne | Ne |
| 4 | LED | | | Ne |
| 4/0 | Zapnutí | | | Ne |
| 4/0/0 | RGBW_Red | switch | Ne | Ne |
| 4/0/1 | RGBW_Green | switch | Ne | Ne |
| 4/0/2 | RGBW_Blue | switch | Ne | Ne |
| 4/0/3 | RGBW_White | switch | Ne | Ne |
| 4/1 | Stmívání | | | Ne |
| 4/1/0 | RGBW_St_Red | dimming control | Ne | Ne |
| 4/1/1 | RGBW_St_Green | dimming control | Ne | Ne |
| 4/1/2 | RGBW_St_Blue | dimming control | Ne | Ne |
| 4/1/3 | RGBW_St_White | dimming control | Ne | Ne |
| 4/2 | RGB sety | | | Ne |
| 4/2/0 | RGBW_Set1 | 3 bytes | Ne | Ne |
| 4/2/1 | RGBW_Set2 | 3 bytes | Ne | Ne |
| 4/2/2 | RGBW_Set3 | 3 bytes | Ne | Ne |
| 4/2/3 | RGBW_Set4 | 3 bytes | Ne | Ne |
| 4/2/4 | RGBW_Set5 | 3 bytes | Ne | Ne |
| 4/3 | Status | | | Ne |
| 4/3/0 | S_Blue_STATUS | switch | Ne | Ne |
| 4/3/1 | S_Green_STATUS | switch | Ne | Ne |
| 4/3/2 | S_Red_STATUS | switch | Ne | Ne |
| 4/3/3 | S_White_STATUS | switch | Ne | Ne |
| 4/3/4 | RGB_STATUS color | 3 bytes | Ne | Ne |
| 4/3/5 | RGB_STATUS | switch | Ne | Ne |
| 5 | Scény | | | Ne |
| 5/0 | Světla | | | Ne |

| Adresa | Název | Délka | Centrál | Vést přes liniovou spojku |
|-----------|----------------------|------------------|---------|---------------------------|
| Popis | | | | |
| Komentáře | | | | |
| 5/0 | Světla | | | Ne |
| 5/0/0 | SC_S1,S2,S3,S4,S5,S6 | switch | Ne | Ne |
| 5/1 | Žaluzie | | | Ne |
| 5/1/0 | SC_Ž1,Ž2_P | switch | Ne | Ne |
| 5/2 | Topení | | | Ne |
| 5/2/2 | SC_T1,T2,T3 | switch | Ne | Ne |
| 5/3 | Klimatizace | | | Ne |
| 5/3/0 | SC_Ch1,Ch2,Ch3 | switch | Ne | Ne |
| 5/4 | LED | | | Ne |
| 5/4/0 | SC_LED_Red | switch | Ne | Ne |
| 5/4/1 | SC_LED_Green | switch | Ne | Ne |
| 5/4/2 | SC_LED_Blue | switch | Ne | Ne |
| 5/4/3 | SC_LED_White | switch | Ne | Ne |
| 5/4/4 | SC_LED_Yellow | 3 bytes | Ne | Ne |
| 5/4/5 | SC_LED_Vypnuto | 3 bytes | Ne | Ne |
| 5/5 | Volání | | | Ne |
| 5/5/0 | SC_Příchod | scene control | Ne | Ne |
| 5/5/1 | SC_Odchod | 1 byte | Ne | Ne |
| 5/5/2 | SC_Dovolená | 1 byte | Ne | Ne |
| 5/5/3 | SC_Léto | scene control | Ne | Ne |
| 5/5/4 | SC_Zima | scene control | Ne | Ne |
| 6 | Měření | | | Ne |
| 6/0 | Teplota | | | Ne |
| 6/0/0 | Temp_Siemens | temperature (°C) | Ne | Ne |
| 6/0/1 | Temp_ABB | temperature (°C) | Ne | Ne |
| 6/0/2 | Temp_Ekinex | temperature (°C) | Ne | Ne |
| 6/0/3 | Temp_BEG | temperature (°C) | Ne | Ne |
| 6/0/4 | Temp_Basalte | temperature (°C) | Ne | Ne |
| 6/0/5 | Temp_Simon | temperature (°C) | Ne | Ne |

B Globální proměnné a struktury PLC

Výpis B.1: Globální proměnné a struktury PLC

```
1 TYPE
2     DT_CMD_BOOL : STRUCT
3         CMD_VAL : BOOL;
4         CMD : BOOL;
5     END_STRUCT;
6 END_TYPE
7 VAR_GLOBAL
8     SV1_FB          : BOOL := FALSE; //KNX COMM SV1 FB
9     SV2_FB          : BOOL := FALSE; //KNX COMM SV2 FB
10    SV3_FB          : BOOL := FALSE; //KNX COMM SV3 FB
11    SV4_FB          : BOOL := FALSE; //KNX COMM SV4 FB
12    SV5_FB          : BOOL := FALSE; //KNX COMM SV5 FB
13    SV6_FB          : BOOL := FALSE; //KNX COMM SV6 FB
14    SV7_FB          : BOOL := FALSE; //KNX COMM SV6 FB
15    SV1_CMD         : DT_CMD_BOOL; //KNX CMD SV1
16    SV2_CMD         : DT_CMD_BOOL; //KNX CMD SV2
17    SV3_CMD         : DT_CMD_BOOL; //KNX CMD SV3
18    SV4_CMD         : DT_CMD_BOOL; //KNX CMD SV4
19    SV5_CMD         : DT_CMD_BOOL; //KNX CMD SV5
20    SV6_CMD         : DT_CMD_BOOL; //KNX CMD SV6
21    SV7_CMD         : DT_CMD_BOOL; //KNX CMD SV6
22    HEAT1_FB        : BOOL := FALSE; //KNX COMM HEAT1 FB
23    HEAT2_FB        : BOOL := FALSE; //KNX COMM HEAT2 FB
24    HEAT3_FB        : BOOL := FALSE; //KNX COMM HEAT3 FB
25    HEAT1_CMD        : DT_CMD_BOOL; //KNX CMD HEAT1
26    HEAT2_CMD        : DT_CMD_BOOL; //KNX CMD HEAT2
27    HEAT3_CMD        : DT_CMD_BOOL; //KNX CMD HEAT3
28    COLD1_FB         : BOOL := FALSE; //KNX COMM COLD1 FB
29    COLD2_FB         : BOOL := FALSE; //KNX COMM COLD2 FB
30    COLD3_FB         : BOOL := FALSE; //KNX COMM COLD3 FB
31    COLD1_CMD         : DT_CMD_BOOL; //KNX CMD COLD1
32    COLD2_CMD         : DT_CMD_BOOL; //KNX CMD COLD2
33    COLD3_CMD         : DT_CMD_BOOL; //KNX CMD COLD3
34    SHUT1_FB_UP      : BOOL := FALSE; //KNX COMM SHUT1 FB
35    SHUT1_FB_DOWN    : BOOL := FALSE; //KNX COMM SHUT1 FB
36    SHUT1_CMD         : DT_CMD_BOOL; //KNX CMD SHUT1
37    SHUT1_STEP_CMD    : DT_CMD_BOOL; //KNX CMD SHUT1 STEP
38    SHUT2_FB_UP      : BOOL := FALSE; //KNX COMM SHUT2 FB
```

```
39 SHUT2_FB_DOWN    : BOOL := FALSE; //KNX COMM SHUT2 FB
40 SHUT2_CMD        : DT_CMD_BOOL; //KNX CMD SHUT1
41 SHUT2_STEP_CMD   : DT_CMD_BOOL; //KNX CMD SHUT1 STEP
42 KNX_TEMPER      : REAL := 0.0; //KNX TEMPERATURE OUT
43 OUTSIDE_TEMPER  : REAL := 0.0; //OUTSIDE TEMPER FOR MQTT
44 KITCHEN_TEMPER  : REAL := 0.0; //KITCHEN TEMPER FOR MQTT
45 LIVINGR_TEMPER  : REAL := 0.0; //LIVINGROOM TEMPER FOR MQTT
46 BATHROOM_TEMPER : REAL := 0.0; //BATHROOM TEMPER FOR MQTT
47 SHUTDOWN_MQTT   : BOOL := FALSE; //SHUTDOWN FROM MQTT
48 END_VAR
```

C Definice funkčního bloku fbRoomTempMod

Výpis C.1: Definice funkčního bloku fbRoomTempMod

```
1 FUNCTION_BLOCK fbRoomTempMod
2   VAR_INPUT
3     Heat_1          : BOOL; // Topení vstup 1[-]
4     Heat_1_WATTS  : REAL; // Topení výkon 1[W] =>[J/s]
5     Heat_2          : BOOL; // Topení vstup 2[-]
6     Heat_2_WATTS  : REAL; // Topení výkon 2[W] =>[J/s]
7     Cold_1          : BOOL; // Klimatizace vstup 1[-]
8     Cold_1_WATTS  : REAL; // Klimatizace výkon 1[W] =>[J/s]
9     Cold_2          : BOOL; // Klimatizace vstup 2[-]
10    Cold_2_WATTS  : REAL; // Klimatizace výkon 2[W] =>[J/s]
11    lenght         : REAL; // délka[m]
12    width          : REAL; // šířka[m]
13    height         : REAL; // výška[m]
14    wall_temp1    : REAL; // Teplota za sousední zdí[degC]
15    wall_temp2    : REAL; // Teplota za sousední zdí[degC]
16    wall_temp3    : REAL; // Teplota za sousední zdí[degC]
17    wall_temp4    : REAL; // Teplota za sousední zdí[degC]
18    floor_temp    : REAL; // Teplota v místnosti pod[degC]
19    ceiling_temp  : REAL; // Teplota v místnosti nad[degC]
20    wall_thic1    : REAL; // Šířka zdi1[m]
21    wall_thic2    : REAL; // Šířka zdi2[m]
22    wall_thic3    : REAL; // Šířka zdi3[m]
23    wall_thic4    : REAL; // Šířka zdi4[m]
24    floor_thic   : REAL; // Šířka podlahy[m]
25    ceiling_thic : REAL; // Šířka stropu[m]
26    TaskTime      : REAL; // Rychlosť tasku[ms]
27  END_VAR
28  VAR_OUTPUT
29    Temperature   : REAL := 20.0; // Teplota na výstupu[degC]
30  END_VAR
31  VAR
32    INIT          : BOOL := FALSE; //INIT bloku
33    TimeStep      : REAL := 0.0; // Hodnota kroku v ms
34    VAir          : REAL := 0.0; // Obsah vzduchu[m^3]
35    MAir          : REAL := 0.0; // Váha vzduchu[Kg]
36    QAir          : REAL := 0.0; // Energie změna o 1degC[J]
```

```

37     RoomTemp      : REAL := 20.0; // Pokojová teplota[degC]
38     DeltaTemp     : REAL := 0.0; // Teplota za cyklus[degC]
39     KHeatRise     : REAL := 2.4; // Korekční člen tr[-]
40     KColdRise     : REAL := 45.0; // Korekční člen kr[-]
41     KHeatFall1    : REAL := 0.0; // Korekční člen tf 1[-]
42     KColdFall1    : REAL := 0.0; // Korekční člen kf 1[-]
43     KHeatFall2    : REAL := 0.0; // Korekční člen tf 2[-]
44     KColdFall2    : REAL := 0.0; // Korekční člen kf 2[-]
45     Epsilon        : REAL := 1.0; // Sp výkon za čas[w]
46     AlphaHeat      : REAL := 0.0; // Logaritmus topení[-]
47     AlphaCold      : REAL := 0.0; // Logaritmus klimatizace[-]
48     FiTotal        : REAL := 0.0; // Celkový tepelný tok[J/s]
49     FiHeat         : REAL := 0.0; // Celkový tepelný tok t[J/s]
50     FiHeatTmp1    : REAL := 0.0; // Tepelný tok topení 1[J/s]
51     FiHeatTmp2    : REAL := 0.0; // Tepelný tok topení 2[J/s]
52     FiCold         : REAL := 0.0; // Celkový tepelný tok k[J/s]
53     FiColdTmp1    : REAL := 0.0; // Tepelný tok klim 1[J/s]
54     FiColdTmp2    : REAL := 0.0; // Tepelný tok klim 2[J/s]
55     AreaWall1     : REAL := 0.0; // Plocha zdi 1[m^2]
56     AreaWall2     : REAL := 0.0; // Plocha zdi 2[m^2]
57     AreaWall3     : REAL := 0.0; // Plocha zdi 3[m^2]
58     AreaWall4     : REAL := 0.0; // Plocha zdi 4[m^2]
59     AreaFloor      : REAL := 0.0; // Plocha podlahy[m^2]
60     AreaCeiling   : REAL := 0.0; // Plocha stropu[m^2]
61 END_VAR
62 VAR_TEMP
63     DeltaTempWall_1 : REAL := 0; // Rozdíl 1[degC]
64     DeltaTempWall_2 : REAL := 0; // Rozdíl 2[degC]
65     DeltaTempWall_3 : REAL := 0; // Rozdíl 3[degC]
66     DeltaTempWall_4 : REAL := 0; // Rozdíl 4[degC]
67     DeltaTempFloor  : REAL := 0; // Rozdíl podlaha[degC]
68     DeltaTempCeiling: REAL := 0; // Rozdíl strop[degC]
69     FiWall_1       : REAL := 0.0; // Tepelný tok 1[J/s]
70     FiWall_2       : REAL := 0.0; // Tepelný tok 2[J/s]
71     FiWall_3       : REAL := 0.0; // Tepelný tok 3[J/s]
72     FiWall_4       : REAL := 0.0; // Tepelný tok 4[J/s]
73     FiFloor         : REAL := 0.0; // Tepelný tok podlaha[J/s]
74     FiCeiling      : REAL := 0.0; // Tepelný tok strop[J/s]
75 END_VAR
76 VAR CONSTANT
77     RoAir : REAL := 1.204; // Hustota vzduchu[Kg/m^3]

```

```

78  CpAir : REAL := 1005.0; // Tepelná kap vzduchu[J/(kg*K)]
79  LambdaBrick : REAL := 0.4; // Tepelná vod cihly[W/(m*K)]
80  MaxTemp : REAL := 24.0; // Maximální teplota[degC]
81  MinTemp : REAL := 16.0; // Minimální teplota[degC]
82  TimeRise : REAL := 15.0; // Čas náběhu výkonu[s]
83  TimeFallHeat : REAL := 15.0; // Čas klesání výkonu t[s]
84  TimeFallCold : REAL := 10.0; // Čas klesání výkonu k[s]
85  TargTimeHeat : REAL := 5.06; // Čas na dosažení 80% t[s]
86  TargTimeCold : REAL := 3.29; // Čas na dosažení 80% k[s]
87  END_VAR
88 IF NOT(INIT) THEN
89   TimeStep := TaskTime / 1000.0; // ms => s
90 END_IF;
91
92 (* Výpočet objemu, hmotnosti, energie *)
93 IF NOT(INIT) THEN
94   VAir := lenght * width * height;
95   MAir := RoAir * VAir;
96   QAir := MAir * CpAir;
97 END_IF;
98
99 (* Výpočet ploch *)
100 IF NOT(INIT) THEN
101   AreaWall1 := height * width;
102   AreaWall2 := height * width;
103   AreaWall3 := height * lenght;
104   AreaWall4 := height * lenght;
105   AreaFloor := lenght * width;
106   AreaCeiling := lenght
107
108 (* Výpočet deltaT *)
109 DeltaTempWall_1 := wall_temp1 - RoomTemp;
110 DeltaTempWall_2 := wall_temp2 - RoomTemp;
111 DeltaTempWall_3 := wall_temp3 - RoomTemp;
112 DeltaTempWall_4 := wall_temp4 - RoomTemp;
113 DeltaTempFloor := floor_temp - RoomTemp;
114 DeltaTempCeiling := ceiling_temp - RoomTemp;
115
116 (* Výpočet tepelných toků přes stěny *)
117 FiWall_1 := (LambdaBrick * AreaWall1 * DeltaTempWall_1) / wall_thic1;
118 FiWall_2 := (LambdaBrick * AreaWall2 * DeltaTempWall_2) / wall_thic2;

```

```

119 FiWall_3 := (LambdaBrick * AreaWall3 * DeltaTempWall_3) / wall_thic3;
120 FiWall_4 := (LambdaBrick * AreaWall4 * DeltaTempWall_4) / wall_thic4;
121 FiFloor := (LambdaBrick * AreaFloor * DeltaTempFloor) / floor_thic;
122 FiCeiling := (LambdaBrick * AreaCeiling * DeltaTempCeiling)/ceiling_thic;
123
124 (* Výpočet korekčních členů *)
125 IF NOT(INIT) THEN
126   KHeatRise := (TimeRise / TargTimeHeat) - 1.0;
127   KColdRise := (TimeRise / TargTimeCold) - 1.0;
128   KHeatFall1 := (LN(Heat_1_WATTS/Epsilon))/TimeFallHeat;
129   KHeatFall2 := (LN(Heat_2_WATTS/Epsilon))/TimeFallHeat;
130   KColdFall1 := (LN(Cold_1_WATTS/Epsilon))/TimeFallCold;
131   KColdFall2 := (LN(Cold_2_WATTS/Epsilon))/TimeFallCold;
132 END_IF;
133
134 (* Tepelný výkon topení a klimatizace *)
135 (* Výpočet alfy *)
136 IF NOT(INIT) THEN
137   AlphaHeat := LN(1 + KHeatRise * (TimeStep)) / LN(1 + KHeatRise *
138     ↳ TimeRise);
139   AlphaCold := LN(1 + KColdRise * (TimeStep)) / LN(1 + KColdRise *
140     ↳ TimeRise);
141 END_IF;
142
143 (* Topení 1 *)
144 IF Heat_1 THEN
145   FiHeatTmp1 := FiHeatTmp1 + AlphaHeat * (Heat_1_WATTS - FiHeatTmp1);
146 ELSE
147   FiHeatTmp1 := FiHeatTmp1 * EXP(-KHeatFall1 * (TimeStep));
148 END_IF;
149 (* Topení 2 *)
150 IF Heat_2 THEN
151   FiHeatTmp2 := FiHeatTmp2 + AlphaHeat * (Heat_2_WATTS - FiHeatTmp2);
152 ELSE
153   FiHeatTmp2 := FiHeatTmp2 * EXP(-KHeatFall2 * (TimeStep));
154 END_IF;
155 (* Klimatizace 1 *)
156 IF Cold_1 THEN
157   FiColdTmp1 := FiColdTmp1 + AlphaCold * (Cold_1_WATTS - FiColdTmp1);

```

```

158 END_IF;
159 (* Klimatizace 2 *)
160 IF Cold_2 THEN
161   FiColdTmp2 := FiColdTmp2 + AlphaCold * (Cold_2_WATTS - FiColdTmp2);
162 ELSE
163   FiColdTmp2 := FiColdTmp2 * EXP(-KColdFall2 * (TimeStep));
164 END_IF;
165
166 (* Súma výkonů *)
167 FiHeat := FiHeatTmp1 + FiHeatTmp2;
168 FiCold := FiColdTmp1 + FiColdTmp2;
169
170 (* Celkový tepelný tok *)
171 FiTotal := FiHeat - FiCold + FiWall_1 + FiWall_2 + FiWall_3 + FiWall_4 +
172   ↪ FiFloor + FiCeiling;
173
174 (* Výpočet přírůstku teploty za task *)
175 DeltaTemp := (FiTotal / QAir) * TimeStep;
176 RoomTemp := RoomTemp + DeltaTemp;
177
178 (* Výstup *)
179 Temperature := RoomTemp;
180
181 (* NOT INIT *)
182 INIT := TRUE;
183 END_FUNCTION_BLOCK

```

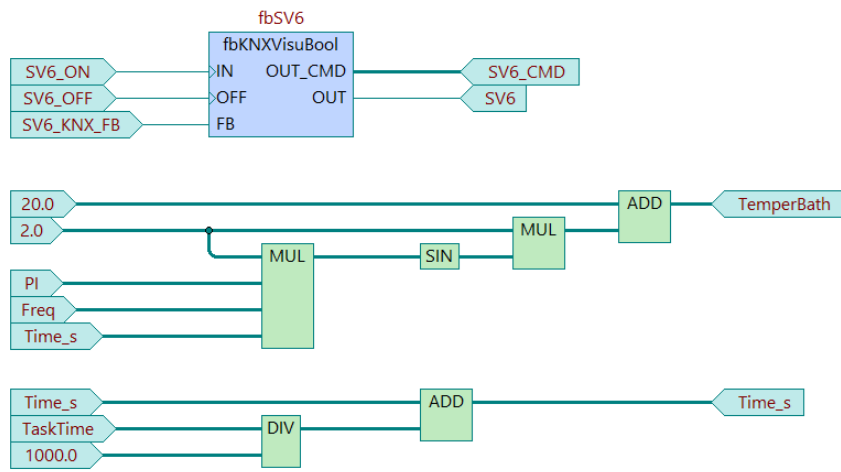
D Popis funkčního bloku fbBath

Výpis D.1: Definice funkčního bloku fbBath

```

1  FUNCTION_BLOCK fbBath
2  VAR_INPUT
3      SV6_ON      : BOOL; //Vizu světlo 6 on
4      SV6_OFF     : BOOL; //Vizu světlo 6 off
5      SV6_KNX_FB  : BOOL; //KNX světlo 6 feedback
6  END_VAR
7  VAR_OUTPUT
8      SV6          : BOOL;    //Vizualizace světla 6
9      SV6_CMD      : DT_CMD_BOOL; //Příkaz světla 6
10     TemperBath   : REAL;    //Vizualizace + komunikace
11  END_VAR
12  VAR
13     Time_s       : REAL := 0.0;
14     fbSV6 : fbKNXVisuBool;
15  END_VAR
16  VAR CONSTANT
17     PI           : REAL := 3.14159265;
18     Freq         : REAL := 0.005; // perioda cca 3 minuty 20 sekund
19     TaskTime    : REAL := 400.0; // 250 ms
20  END_VAR

```

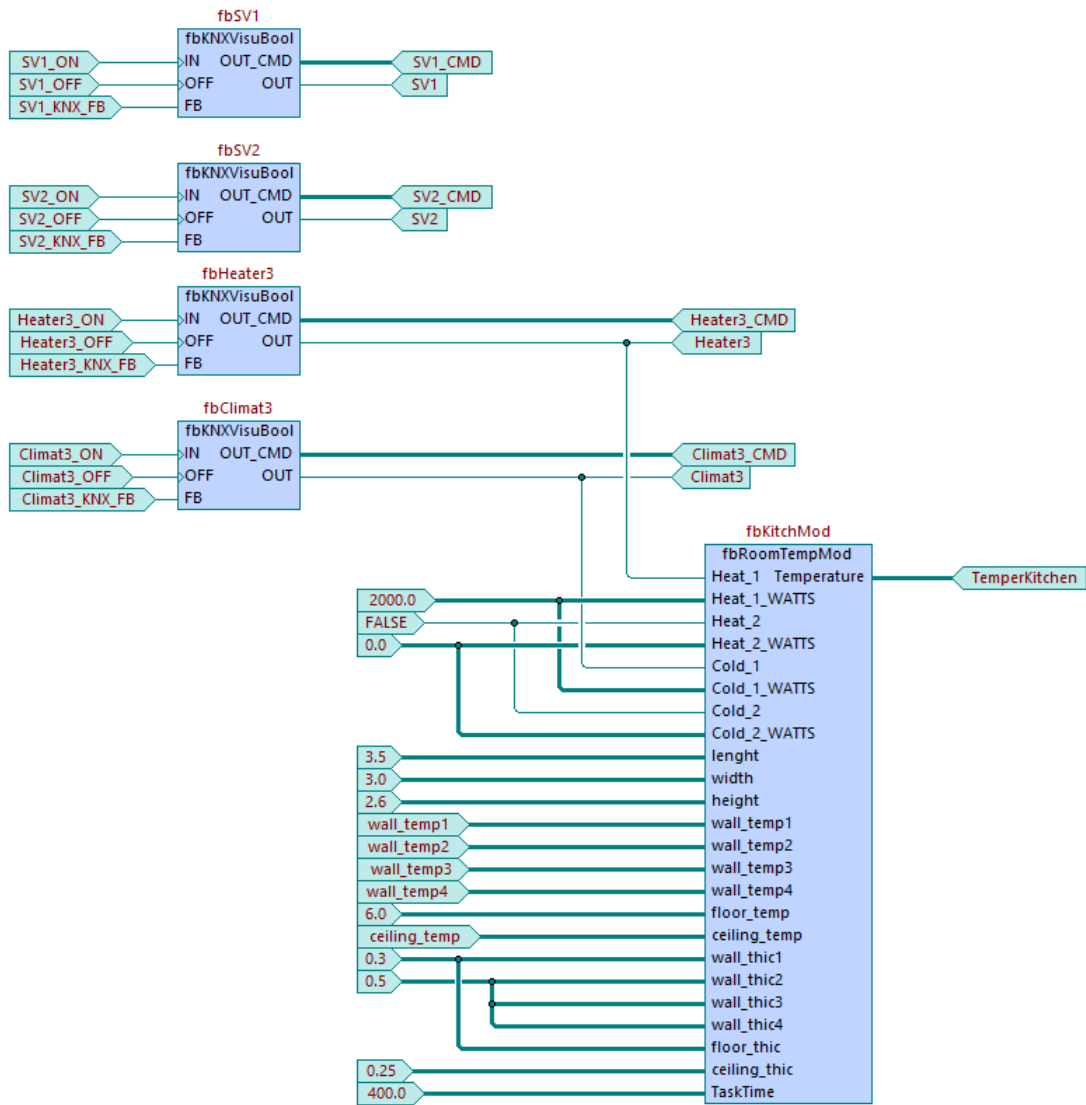


Obr. D.1: Logika funkčního bloku fbBath

E Definice funkčního bloku fbKitch

Výpis E.1: Definice funkčního bloku fbKitch

```
1  FUNCTION_BLOCK fbKitch
2
3  VAR_INPUT
4      SV1_ON          : BOOL; //Vizu světlo 1 on
5      SV1_OFF         : BOOL; //Vizu světlo 1 off
6      SV1_KNX_FB     : BOOL; //KNX světlo 1 feedback,
7      SV2_ON          : BOOL; //Vizu světlo 2 on
8      SV2_OFF         : BOOL; //Vizu světlo 2 off
9      SV2_KNX_FB     : BOOL; //KNX světlo 2 feedback
10     Heater3_ON     : BOOL; //Vizu toopení 3 on
11     Heater3_OFF    : BOOL; //Vizu toopení 3 off
12     Heater3_KNX_FB : BOOL; //KNX klimatizace 3 feedback
13     Climat3_ON     : BOOL; //Vizu klimatizace 3 on
14     Climat3_OFF    : BOOL; //Vizu klimatizace 3 off
15     Climat3_KNX_FB : BOOL; //KNX toopení 3 feedback
16     wall_temp1      : REAL; // Teplota koupelna[degC]
17     wall_temp2      : REAL; // Teplota ven[degC]
18     wall_temp3      : REAL; // Teplota ven[degC]
19     wall_temp4      : REAL; // Teplota ven[degC]
20     ceiling_temp    : REAL; // Teplota obyvak[degC]
21
22 END_VAR
23
24 VAR_OUTPUT
25     SV1           : BOOL; //Vizualizace světla 1
26     SV2           : BOOL; //Vizualizace světla 2
27     Heater3       : BOOL; //Vizualizace toopení 3
28     Climat3       : BOOL; //Vizualizace klimatizace 3
29     SV1_CMD        : DT_CMD_BOOL; //Příkaz světla 1
30     SV2_CMD        : DT_CMD_BOOL; //Příkaz světla 2
31     Heater3_CMD   : DT_CMD_BOOL; //Příkaz toopení 3
32     Climat3_CMD   : DT_CMD_BOOL; //Příkaz klimatizace 3
33     TemperKitchen : REAL; //Vizualizace + komunikace
34
35 END_VAR
36
37 VAR
38     fbSV1 : fbKNXVisuBool;
39     fbSV2 : fbKNXVisuBool;
40     fbHeater3 : fbKNXVisuBool;
41     fbKitchMod : fbRoomTempMod;
42     fbClimat3 : fbKNXVisuBool;
43
44 END_VAR
```



Obr. E.1: Logika funkčního bloku fbKitch

F Definice funkčního bloku fbLivRoom

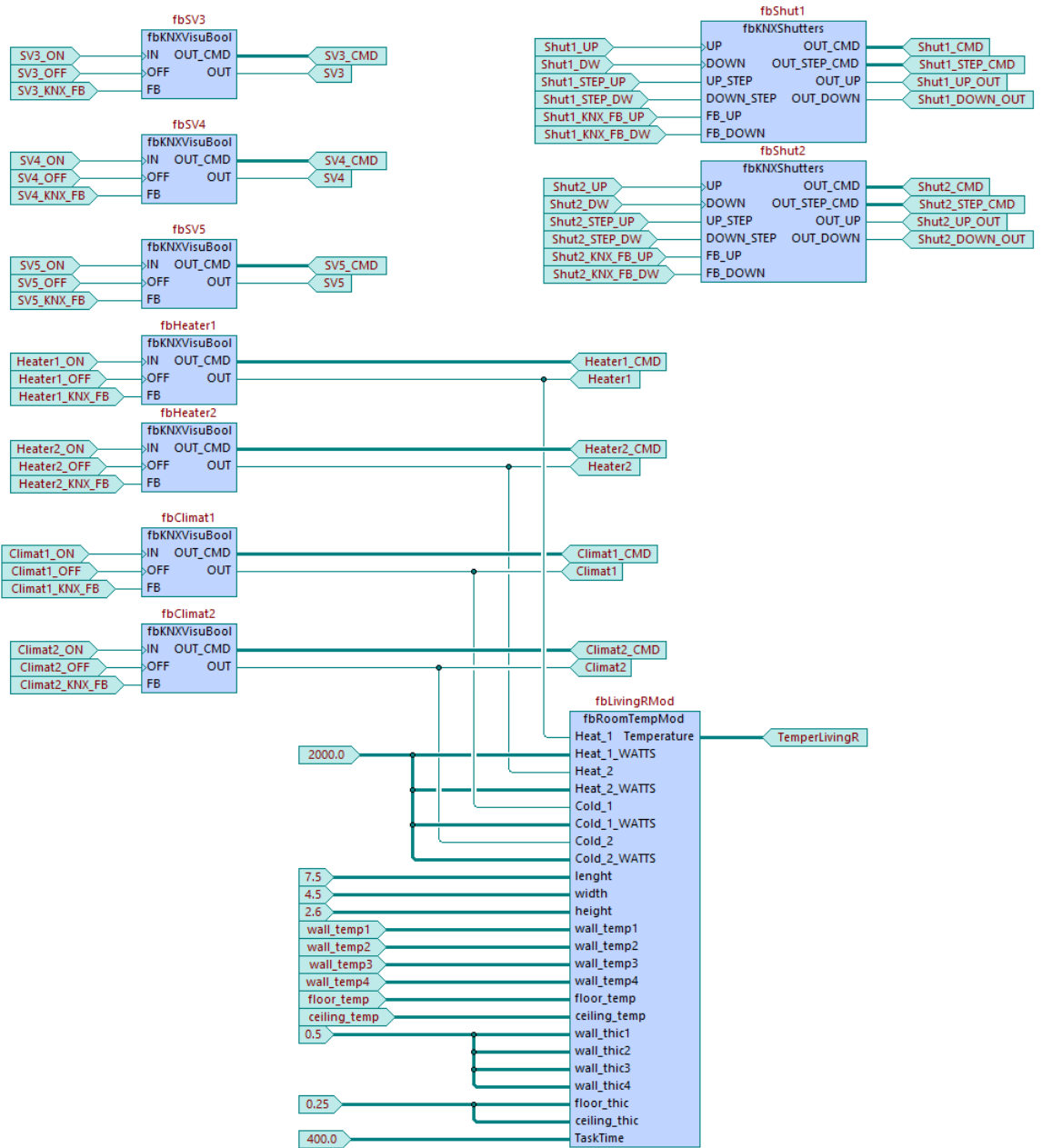
Výpis F.1: Definice funkčního bloku fbLivRoom

```
1 FUNCTION_BLOCK fbLivRoom
2   VAR_INPUT
3     SV3_ON          : BOOL; //Vizu světlo 3 on
4     SV3_OFF         : BOOL; //Vizu světlo 3 off
5     SV3_KNX_FB      : BOOL; //KNX světlo 3 feedback,
6     SV4_ON          : BOOL; //Vizu světlo 4 on
7     SV4_OFF         : BOOL; //Vizu světlo 4 off
8     SV4_KNX_FB      : BOOL; //KNX světlo 4 feedback
9     SV5_ON          : BOOL; //Vizu světlo 5 on
10    SV5_OFF         : BOOL; //Vizu světlo 5 off
11    SV5_KNX_FB      : BOOL; //KNX světlo 5 feedback
12    Shut1_UP        : BOOL; //Vizu rolety 1 on
13    Shut1_DW        : BOOL; //Vizu rolety 1 down
14    Shut1_STEP_UP   : BOOL; //Vizu rolety 1 on krok
15    Shut1_STEP_DW   : BOOL; //Vizu rolety 1 off krok
16    Shut1_KNX_FB_UP : BOOL; //KNX rolety 1 feedback up
17    Shut1_KNX_FB_DW : BOOL; //KNX rolety 1 feedback down
18    Shut2_UP        : BOOL; //Vizu rolety 2 on
19    Shut2_DW        : BOOL; //Vizu rolety 2 down
20    Shut2_STEP_UP   : BOOL; //Vizu rolety 2 on krok
21    Shut2_STEP_DW   : BOOL; //Vizu rolety 2 off krok
22    Shut2_KNX_FB_UP : BOOL; //KNX rolety 2 feedback up
23    Shut2_KNX_FB_DW : BOOL; //KNX rolety 2 feedback down
24    Heater1_ON      : BOOL; //Vizu toopení 1 on
25    Heater1_OFF     : BOOL; //Vizu toopení 1 off
26    Heater1_KNX_FB  : BOOL; //KNX klimatizace 1 feedback
27    Heater2_ON      : BOOL; //Vizu toopení 2 on
28    Heater2_OFF     : BOOL; //Vizu toopení 2 off
29    Heater2_KNX_FB  : BOOL; //KNX klimatizace 2 feedback
30    Climat1_ON      : BOOL; //Vizu klimatizace 1 on
31    Climat1_OFF     : BOOL; //Vizu klimatizace 1 off
32    Climat1_KNX_FB  : BOOL; //KNX toopení 1 feedback
33    Climat2_ON      : BOOL; //Vizu klimatizace 2 on
34    Climat2_OFF     : BOOL; //Vizu klimatizace 2 off
35    Climat2_KNX_FB  : BOOL; //KNX toopení 2 feedback
36    wall_temp1       : REAL; // Teploplota koupelna[degC]
37    wall_temp2       : REAL; // Teploplota ven[degC]
38    wall_temp3       : REAL; // Teploplota ven[degC]
```

```

39      wall_temp4      : REAL; // Teplota ven[degC]
40      floor_temp       : REAL; // Teplota v místnosti pod[degC]
41      ceiling_temp     : REAL; // Teplota obyváku[degC]
42  END_VAR
43  VAR_OUTPUT
44      SV3           : BOOL;    // Vizualizace světla 3
45      SV4           : BOOL;    // Vizualizace světla 4
46      SV5           : BOOL;    // Vizualizace světla 5
47      SV3_CMD        : DT_CMD_BOOL; // Příkaz světla 3
48      SV4_CMD        : DT_CMD_BOOL; // Příkaz světla 4
49      SV5_CMD        : DT_CMD_BOOL; // Příkaz světla 5
50      Heater1        : BOOL;    // Vizualizace topení 1
51      Heater2        : BOOL;    // Vizualizace topení 2
52      Heater1_CMD    : DT_CMD_BOOL; // Příkaz topení 1
53      Heater2_CMD    : DT_CMD_BOOL; // Příkaz topení 2
54      Climat1         : BOOL;    // Vizualizace klimatizace 1
55      Climat2         : BOOL;    // Vizualizace klimatizace 2
56      Climat1_CMD     : DT_CMD_BOOL; // Příkaz klimatizace 1
57      Climat2_CMD     : DT_CMD_BOOL; // Příkaz klimatizace 2
58      Shut1_UP_OUT    : BOOL;    // Vizualizace žaluzie 1 UP
59      Shut1_DOWN_OUT   : BOOL;    // Vizualizace žaluzie 1 DOWN
60      Shut1_CMD        : DT_CMD_BOOL; // Příkaz žaluzie 1
61      Shut1_STEP_CMD   : DT_CMD_BOOL; // Příkaz žaluzie 1 KROK
62      Shut2_UP_OUT    : BOOL;    // Vizualizace žaluzie 2 UP
63      Shut2_DOWN_OUT   : BOOL;    // Vizualizace žaluzie 2 DOWN
64      Shut2_CMD        : DT_CMD_BOOL; // Příkaz žaluzie 2
65      Shut2_STEP_CMD   : DT_CMD_BOOL; // Příkaz žaluzie 2 KROK
66      TemperLivingR   : REAL;    // Vizualizace + komunikace
67  END_VAR
68  VAR
69      fbSV3 : fbKNXVisuBool;
70      fbSV4 : fbKNXVisuBool;
71      fbSV5 : fbKNXVisuBool;
72      fbHeater1 : fbKNXVisuBool;
73      fbClimat1 : fbKNXVisuBool;
74      fbHeater2 : fbKNXVisuBool;
75      fbClimat2 : fbKNXVisuBool;
76      fbLivingRMod : fbRoomTempMod;
77      fbShut1 : fbKNXShutters;
78      fbShut2 : fbKNXShutters;
79  END_VAR

```

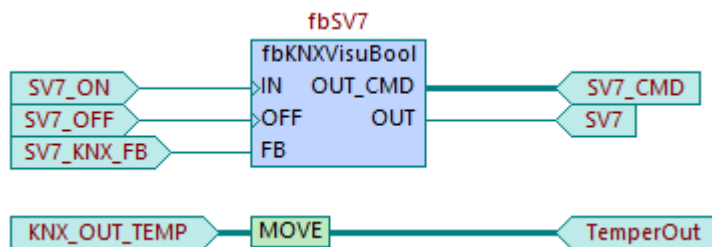


Obr. F.1: Logika funkčního bloku **fbLivRoom**

G Definice funkčního bloku fbOutz

Výpis G.1: Definice funkčního bloku fbOutz

```
1  FUNCTION_BLOCK fbOutz
2  VAR_INPUT
3      SV7_ON      : BOOL R_EDGE; //Vizu světlo 7 on
4      SV7_OFF     : BOOL R_EDGE; //Vizu světlo 7 off
5      SV7_KNX_FB  : BOOL; //KNX světlo 7 feedback
6      KNX_OUT_TEMP : REAL; // KNX Teplota venku
7  END_VAR
8  VAR_OUTPUT
9      SV7         : BOOL;    //Vizualizace světla 7
10     SV7_CMD     : DT_CMD_BOOL; //Příkaz světla 7
11     TemperOut   : REAL;    //Vizualizace + komunikace
12  END_VAR
13  VAR_IN_OUT
14  END_VAR
15  VAR
16      fbSV7 : fbKNXVisuBool;
17  END_VAR
18  VAR_TEMP
19  END_VAR
```



Obr. G.1: Logika funkčního bloku fbOutz

H Program komunikace mezi PLC a KNX

Výpis H.1: Program komunikace mezi PLC a KNX

```
1 PROGRAM prgKNXComm
2 VAR
3     init : BOOL;
4     knx : fbKnxIpBaosBin;
5     knxObjectList : ARRAY[1..34] OF UDINT; // pole adres
6     SHUT1_FB_PULSE : TON;
7     SHUT2_FB_PULSE : TON;
8     datapoint1 : T_KNX_OBJECT_DPT1; // SV1_FB
9     datapoint2 : T_KNX_OBJECT_DPT1; // SV2_FB
10    datapoint3 : T_KNX_OBJECT_DPT1; // SV3_FB
11    datapoint4 : T_KNX_OBJECT_DPT1; // SV4_FB
12    datapoint5 : T_KNX_OBJECT_DPT1; // SV5_FB
13    datapoint6 : T_KNX_OBJECT_DPT1; // SV6_FB
14    datapoint7 : T_KNX_OBJECT_DPT1; // SV7_FB
15    datapoint8 : T_KNX_OBJECT_DPT1; // HEAT1_FB
16    datapoint9 : T_KNX_OBJECT_DPT1; // HEAT2_FB
17    datapoint10 : T_KNX_OBJECT_DPT1; // HEAT3_FB
18    datapoint11 : T_KNX_OBJECT_DPT1; // COLD1_FB
19    datapoint12 : T_KNX_OBJECT_DPT1; // COLD2_FB
20    datapoint13 : T_KNX_OBJECT_DPT1; // COLD3_FB
21    datapoint14 : T_KNX_OBJECT_DPT1; // SHUT1_FB
22    datapoint15 : T_KNX_OBJECT_DPT1; // SHUT1_CMD
23    datapoint16 : T_KNX_OBJECT_DPT1; // SHUT2_FB
24    datapoint17 : T_KNX_OBJECT_DPT1; // SHUT2_CMD
25    datapoint18 : T_KNX_OBJECT_DPT1; // SV1_CMD
26    datapoint19 : T_KNX_OBJECT_DPT1; // SV2_CMD
27    datapoint20 : T_KNX_OBJECT_DPT1; // SV3_CMD
28    datapoint21 : T_KNX_OBJECT_DPT1; // SV4_CMD
29    datapoint22 : T_KNX_OBJECT_DPT1; // SV5_CMD
30    datapoint23 : T_KNX_OBJECT_DPT1; // SV6_CMD
31    datapoint24 : T_KNX_OBJECT_DPT1; // SV7_CMD
32    datapoint25 : T_KNX_OBJECT_DPT1; // HEAT1_CMD
33    datapoint26 : T_KNX_OBJECT_DPT1; // HEAT2_CMD
34    datapoint27 : T_KNX_OBJECT_DPT1; // HEAT3_CMD
35    datapoint28 : T_KNX_OBJECT_DPT1; // COLD1_CMD
36    datapoint29 : T_KNX_OBJECT_DPT1; // COLD2_CMD
37    datapoint30 : T_KNX_OBJECT_DPT1; // COLD3_CMD
38    datapoint31 : T_KNX_OBJECT_DPT1; // krok Ž 1
```

```

39     datapoint32      : T_KNX_OBJECT_DPT1; // krok Ž 2
40     datapoint33      : T_KNX_OBJECT_DPT18; // scéna
41     datapoint34      : T_KNX_OBJECT_DPT9; // teplota
42 END_VAR
43 IF NOT init THEN // pole adres
44     knxObjectList[1]  := PTR_TO_UDINT( ADR(datapoint1));
45     knxObjectList[2]  := PTR_TO_UDINT( ADR(datapoint2));
46     knxObjectList[3]  := PTR_TO_UDINT( ADR(datapoint3));
47     knxObjectList[4]  := PTR_TO_UDINT( ADR(datapoint4));
48     knxObjectList[5]  := PTR_TO_UDINT( ADR(datapoint5));
49     knxObjectList[6]  := PTR_TO_UDINT( ADR(datapoint6));
50     knxObjectList[7]  := PTR_TO_UDINT( ADR(datapoint7));
51     knxObjectList[8]  := PTR_TO_UDINT( ADR(datapoint8));
52     knxObjectList[9]  := PTR_TO_UDINT( ADR(datapoint9));
53     knxObjectList[10] := PTR_TO_UDINT( ADR(datapoint10));
54     knxObjectList[11] := PTR_TO_UDINT( ADR(datapoint11));
55     knxObjectList[12] := PTR_TO_UDINT( ADR(datapoint12));
56     knxObjectList[13] := PTR_TO_UDINT( ADR(datapoint13));
57     knxObjectList[14] := PTR_TO_UDINT( ADR(datapoint14));
58     knxObjectList[15] := PTR_TO_UDINT( ADR(datapoint15));
59     knxObjectList[16] := PTR_TO_UDINT( ADR(datapoint16));
60     knxObjectList[17] := PTR_TO_UDINT( ADR(datapoint17));
61     knxObjectList[18] := PTR_TO_UDINT( ADR(datapoint18));
62     knxObjectList[19] := PTR_TO_UDINT( ADR(datapoint19));
63     knxObjectList[20] := PTR_TO_UDINT( ADR(datapoint20));
64     knxObjectList[21] := PTR_TO_UDINT( ADR(datapoint21));
65     knxObjectList[22] := PTR_TO_UDINT( ADR(datapoint22));
66     knxObjectList[23] := PTR_TO_UDINT( ADR(datapoint23));
67     knxObjectList[24] := PTR_TO_UDINT( ADR(datapoint24));
68     knxObjectList[25] := PTR_TO_UDINT( ADR(datapoint25));
69     knxObjectList[26] := PTR_TO_UDINT( ADR(datapoint26));
70     knxObjectList[27] := PTR_TO_UDINT( ADR(datapoint27));
71     knxObjectList[28] := PTR_TO_UDINT( ADR(datapoint28));
72     knxObjectList[29] := PTR_TO_UDINT( ADR(datapoint29));
73     knxObjectList[30] := PTR_TO_UDINT( ADR(datapoint30));
74     knxObjectList[31] := PTR_TO_UDINT( ADR(datapoint31));
75     knxObjectList[32] := PTR_TO_UDINT( ADR(datapoint32));
76     knxObjectList[33] := PTR_TO_UDINT( ADR(datapoint33));
77     knxObjectList[34] := PTR_TO_UDINT( ADR(datapoint34));
78     init := TRUE;
79 END_IF

```

```

80 knx( firstKnxObject := 1,
81     lastKnxObject := 34,
82     ethCode := ETH2_uni2,
83     knxIP := STRING_TO_IPADDR('192.168.xxx.xx'),
84     knxList := void( knxObjectList));
85
86 // Feedbacky
87 SV1_FB      := datapoint1 .value;
88 SV2_FB      := datapoint2 .value;
89 SV3_FB      := datapoint3 .value;
90 SV4_FB      := datapoint4 .value;
91 SV5_FB      := datapoint5 .value;
92 SV6_FB      := datapoint6 .value;
93 SV7_FB      := datapoint7 .value;
94 HEAT1_FB    := datapoint8 .value;
95 HEAT2_FB    := datapoint9 .value;
96 HEAT3_FB    := datapoint10.value;
97 COLD1_FB    := datapoint11.value;
98 COLD2_FB    := datapoint12.value;
99 COLD3_FB    := datapoint13.value;
100 SHUT1_FB_PULSE(IN := datapoint14.altValue, PT := T#1s);
101 SHUT2_FB_PULSE(IN := datapoint16.altValue, PT := T#1s);
102 SHUT1_FB_UP   := datapoint14.value AND SHUT1_FB_PULSE.Q;
103 SHUT1_FB_DOWN := NOT(datapoint14.value) AND SHUT1_FB_PULSE.Q;
104 SHUT2_FB_UP   := datapoint16.value AND SHUT2_FB_PULSE.Q;
105 SHUT2_FB_DOWN := NOT(datapoint16.value) AND SHUT2_FB_PULSE.Q;
106
107 // Příkazy
108 IF SV1_CMD.CMD      THEN datapoint18.value := SV1_CMD.CMD_VAL; END_IF;
109 IF SV2_CMD.CMD      THEN datapoint19.value := SV2_CMD.CMD_VAL; END_IF;
110 IF SV3_CMD.CMD      THEN datapoint20.value := SV3_CMD.CMD_VAL; END_IF;
111 IF SV4_CMD.CMD      THEN datapoint21.value := SV4_CMD.CMD_VAL; END_IF;
112 IF SV5_CMD.CMD      THEN datapoint22.value := SV5_CMD.CMD_VAL; END_IF;
113 IF SV6_CMD.CMD      THEN datapoint23.value := SV6_CMD.CMD_VAL; END_IF;
114 IF SV7_CMD.CMD      THEN datapoint24.value := SV7_CMD.CMD_VAL; END_IF;
115 IF HEAT1_CMD.CMD    THEN datapoint25.value := HEAT1_CMD.CMD_VAL; END_IF;
116 IF HEAT2_CMD.CMD    THEN datapoint26.value := HEAT2_CMD.CMD_VAL; END_IF;
117 IF HEAT3_CMD.CMD    THEN datapoint27.value := HEAT3_CMD.CMD_VAL; END_IF;
118 IF COLD1_CMD.CMD    THEN datapoint28.value := COLD1_CMD.CMD_VAL; END_IF;
119 IF COLD2_CMD.CMD    THEN datapoint29.value := COLD2_CMD.CMD_VAL; END_IF;
120 IF COLD3_CMD.CMD    THEN datapoint30.value := COLD3_CMD.CMD_VAL; END_IF;

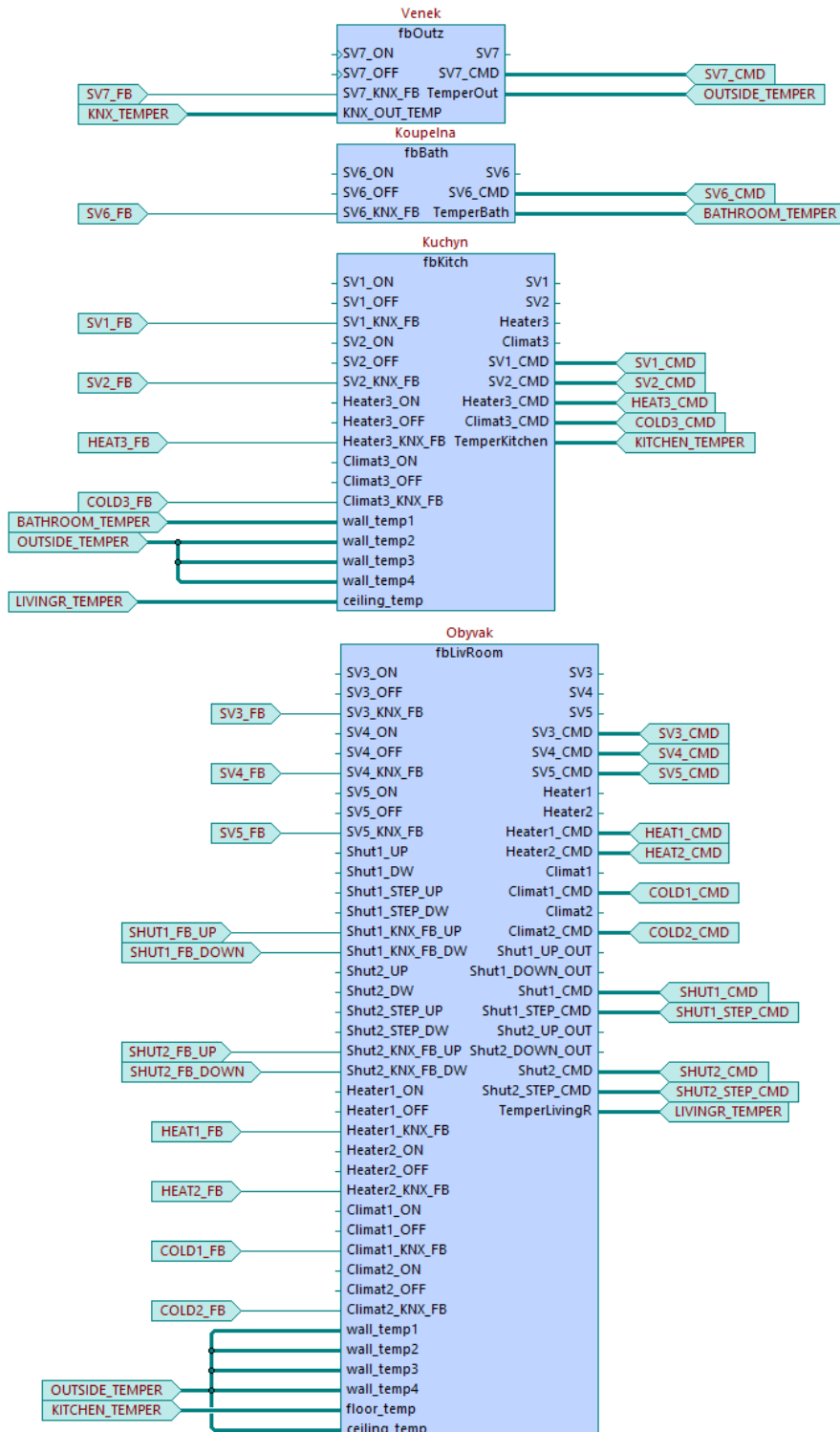
```

```
121 IF SHUT1_CMD.CMD      THEN datapoint15.value := SHUT1_CMD.CMD_VAL; END_IF;
122 IF SHUT1_STEP_CMD.CMD THEN datapoint31.value := SHUT1_STEP_CMD.CMD_VAL;
   ↪ END_IF;
123 IF SHUT2_CMD.CMD      THEN datapoint17.value := SHUT1_CMD.CMD_VAL; END_IF;
124 IF SHUT2_STEP_CMD.CMD THEN datapoint32.value := SHUT1_STEP_CMD.CMD_VAL;
   ↪ END_IF;
125 // Shutdown scéna
126 IF SHUTDOWN_MQTT THEN
127   datapoint33.control := TRUE;
128   datapoint33.scene   := 5;
129 END_IF
130 // Posílání teploty
131 KNX_TEMPER := datapoint34.value;
132 END_PROGRAM
```

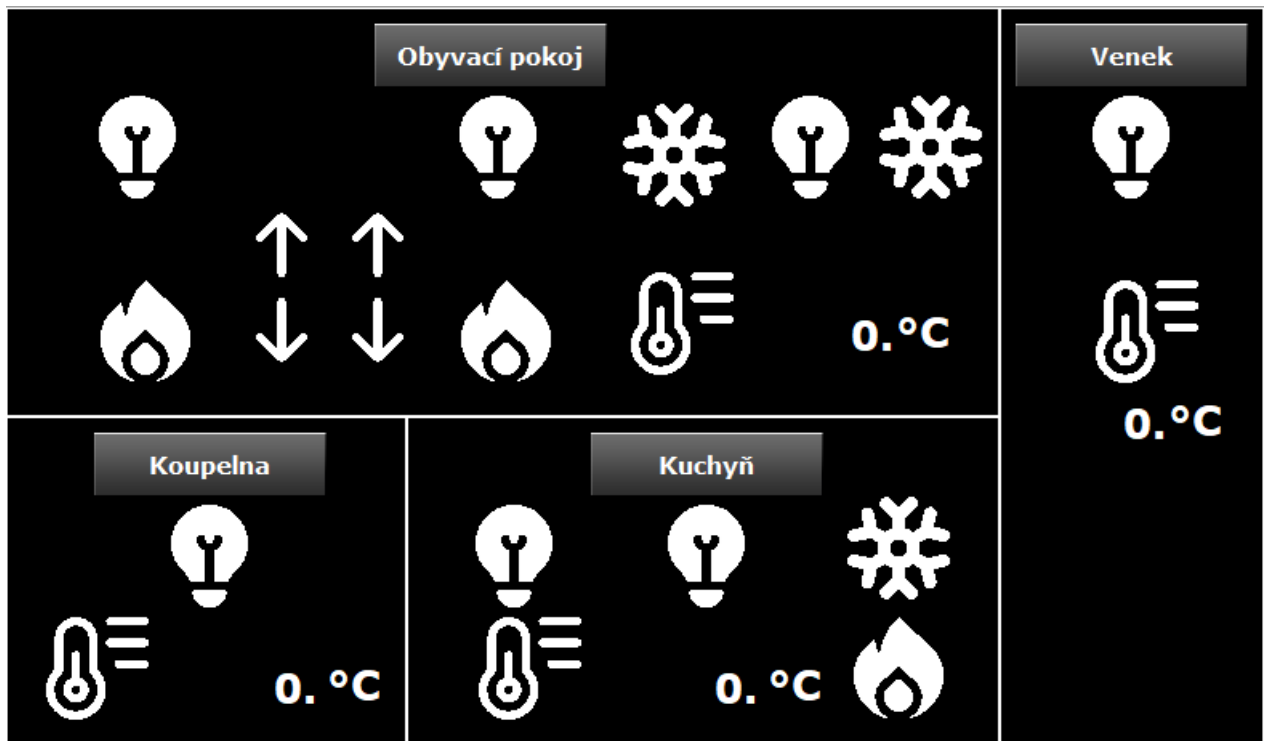
I Program komunikace mezi PLC a Home Assistant - MQTT

Výpis I.1: Program komunikace mezi PLC a Home Assistant - MQTT

J Vizualizace PLC



Obr. J.1: Vizualizace PLC



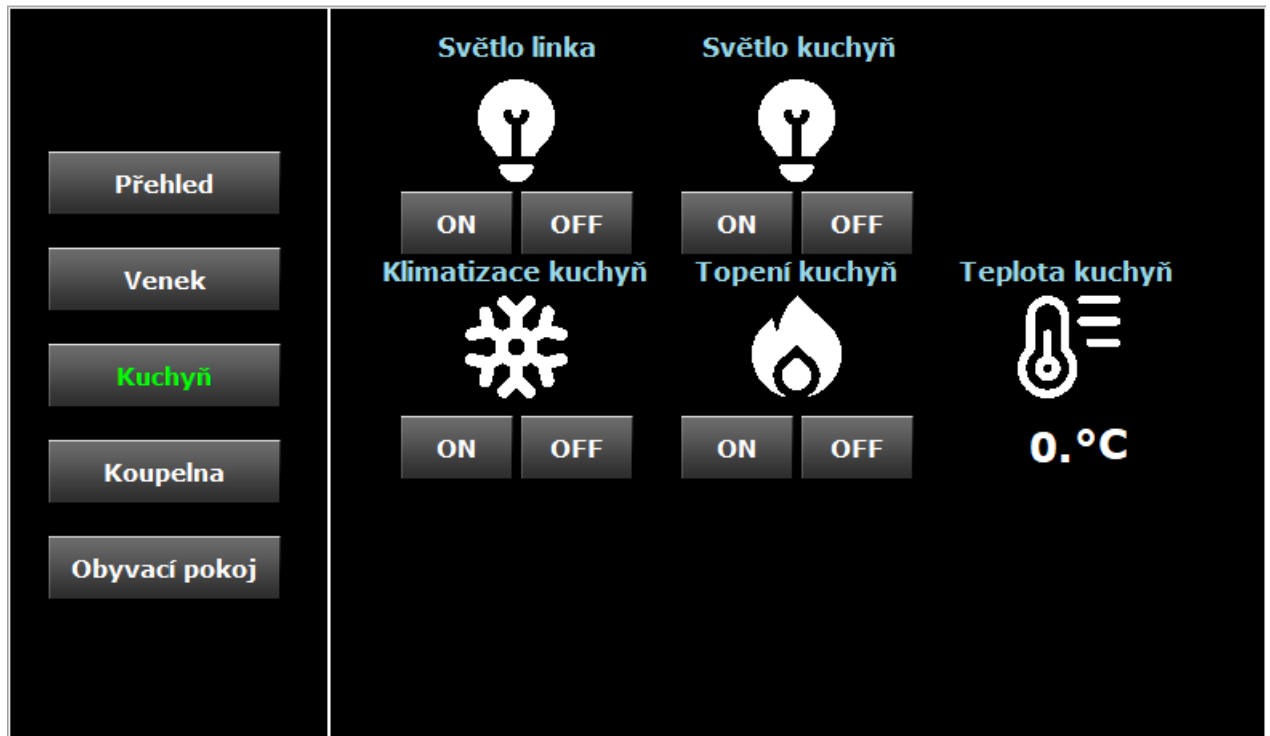
Obr. J.2: WebMaker - Hlavní obrazovka



Obr. J.3: WebMaker - Obrazovka venek



Obr. J.4: WebMaker - Obrazovka koupelna



Obr. J.5: WebMaker - Obrazovka kuchyně



Obr. J.6: WebMaker - Obrazovka obyvací pokoj

K Portainer YAML

L Stack YAML